

ส่วนที่ 2

รายงานผลการวิจัยฉบับสมบูรณ์
โครงการวิจัยทุนอุดหนุนวิจัย มก. ปีงบประมาณ 2553

โครงการวิจัยรหัส ว-ท(ด)20.51

การวิเคราะห์การทำงานของยีนที่ใช้ในการสังเคราะห์สารเคอร์คูมินอยด์ในขมิ้นชันโดย RNA interference

Functional analysis of curcuminoid biosynthetic gene in turmeric by RNA interference

(1)สุรินทร์ พิยะโชคนาคุล, (2)อมรา ทองปาน, (3)สมพิค
สามิภักดิ์

(1)Surin Peyachoknakul, (2)Amara Thongpan, (3)Sompid
Samipak

บทคัดย่อ

จากการตรวจสอบทราบว่า การสังเคราะห์สารเคอร์คูมินอยด์เกิดจากการทำงานร่วมกันของ เอนไซม์ 2 ชนิด คือ diketide-CoA synthase (DCS) และ curcumin synthase (CURS) ทำให้ทราบ วิถีการสังเคราะห์สารเคอร์คูมินอยด์ และมีรายงานการโคลนยีนทั้ง 2 ยีน ตั้งแต่ล่าสุดแล้ว จึงออกแบบ โปรแกรมเพื่อเพิ่มปริมาณส่วนของยีน DCS และ CURS นำแต่ละยีนมาเข้ามัดอกกันแบบกลับทิศทาง ในพลาสมิดโดยใช้ระบบ Gateway recombination ถ่ายยีนเข้าสู่ขั้นตอนโดยใช้เชื้อ *Agrobacterium tumefaciens* สายพันธุ์ EHA105 ที่มีพลาสมิด pSTARGATE ที่ตัดต่อยีน DCS และ CURS เรียบร้อย แล้ว เพื่อตรวจสอบการทำงานของยีนโดย RNA interference พบรอยด์สามารถเจริญบนอาหารคัด เลือกที่เติมยาปฏิชีวนะไฮโกรามycin ความเข้มข้น 10 ไมโครกรัมต่อมิลลิลิตร จำนวน 3 และ 4 ตัน (คิด เป็น 0.6 และ 0.8 เปอร์เซ็นต์) ตามลำดับ ตรวจสอบการมีอยู่ของยีนโดยใช้โปรแกรมของยีน hygromycin phosphotransferase (hpt) พบรอยด์ที่มีແบดีเอ็นเอทั้งหมด 1 และ 4 ตัน ตามลำดับ จาก นั้นตรวจสอบการแสดงออกของยีนในระดับอาร์เอ็นเอ พบรอยด์แสดงออกของยีนทั้งในส่วนโคนตันและ ใน โดยตันที่ได้รับการถ่ายยีน DCS และ CURS ที่ตรวจพบยีนเครื่องหมาย มีความเข้มของແบดี เอ็นเอและปริมาณดีเอ็นเอที่ได้จากการทำปฏิกิริยา RT-PCR น้อยกว่าตันที่ไม่ได้รับการถ่ายยีน จำนวน 1 และ 2 ตัน ตามลำดับ แสดงว่าบริเวณที่ออกแบบยีน DCS และ CURS ที่ใช้ในครั้งนี้เป็นบริเวณที่มี ความสำคัญ สามารถลดการแสดงออกของยีนได้สำเร็จ

คำสำคัญ : ขมิ้นชัน, RNA interference, เคอร์คูมินอยด์

ABSTRACT

Pathway of curcuminoids biosynthesis in *Curcuma longa* was reported. They are synthesized by the coordination of two enzyme clusters, diketide -CoA synthase (DCS) and curcumin synthase (CURS). These two genes have been cloned. Therefore, specific primers were designed to amplify the fragment of DCS and CURS genes from turmeric. The

fragment from each gene was separately joined in the inverted orientation for the construction of the plasmid for RNA interference technique using Gateway recombination system. The plasmid pSTARGATE harboring the DCS or CURS gene in the RNAi construct was transformed to turmeric shoots. Cocultivation of Agrobacterium tumefaciens strain EHA105 and turmeric shoot tissue was done followed by in vitro propagation of turmeric shoot on MS medium supplemented with 10 ?g/ml hygromycin. Three (0.6%) and 4 (0.8%) putative DCS and CURS transformed plants were obtained. One of the DCS and all of the CURS transformed plants showed the presence of hpt marker gene by PCR. The expression of the target genes were also reduced in one DCS transformed plant with positive hpt gene and two CURS transformed plants. The result indicated that the region of DCS and CURS genes in this construct were successfully used for down regulation of these genes expression.

Key words : turmeric, Curcuma longa, RNA interferenc

(1)ภาควิชาพัฒนาศึกษาศาสตร์ คณะวิทยาศาสตร์ บางเขน

(1)*Faculty of Science*

(2)คณะวิทยาศาสตร์ บางเขน

(2)*Faculty of Science*

(3)คณะวิทยาศาสตร์ บางเขน

(3)*Faculty of Science*

ส่วนที่ 2

รายงานผลการวิจัยฉบับสมบูรณ์

โครงการวิจัยทุนคุณวุฒิ นวัตกรรม มก. ปีงบประมาณ 2551-2553.....

โครงการวิจัยรหัส ว-ท(ด) 20.51

ชื่อโครงการภาษาไทย การวิเคราะห์การทำงานของยีนที่ใช้ในการสังเคราะห์สารเคอร์คูมินอยด์ในขมิ้นชัน

โดย RNA interference

ชื่อโครงการภาษาอังกฤษ Functional analysis of curcuminoid biosynthetic gene in turmeric by RNA interference

ชื่อผู้วิจัยภาษาไทย สุรินทร์ พิยะโชคนาฏกุล⁽¹⁾ ออมรา ทองปาน⁽¹⁾ สมพิศ สามิภักดี⁽¹⁾
 ชื่อผู้วิจัยภาษาอังกฤษ Surin Peyachoknagul⁽¹⁾ Amara Thongpan⁽¹⁾ Sompid Samipak⁽¹⁾

บทคัดย่อ

จากการตรวจเอกสารทราบว่า การสังเคราะห์สารเคอร์คูมินอยด์เกิดจากการทำงานร่วมกันของเอนไซม์ 2 ชนิด คือ diketide-CoA synthase (DCS) และ curcumin synthase (CURS) ทำให้ทราบวิถีการสังเคราะห์สารเคอร์คูมินอยด์ และมีรายงานการคลอนยีนทั้ง 2 ยีน ดังกล่าวแล้ว จึงออกแบบไพรเมอร์เพื่อเพิ่มปริมาณส่วนของยีน DCS และ CURS นำแต่ละยีนมาเข้ามาร่วมกันแบบกลับทิศทางในพลาสมิดโดยใช้ระบบ Gateway recombination ถ่ายยีนเข้าสู่ขมิ้นโดยใช้เชื้อ *Agrobacterium tumefaciens* สายพันธุ์ EHA105 ที่มีพลาสมิด pSTARGATE ที่ตัดต่อ yiein DCS และ CURS เรียบร้อยแล้ว เพื่อตรวจสอบการทำงานของยีนโดย RNA interference พนัยอดที่สามารถเจริญบนอาหารคัดเลือกที่เติมยาปฎิชีวนะไฮโกรมัยซิน ความเข้มข้น 10 ไมโครกรัมต่อมิลลิลิตร จำนวน 3 และ 4 ตัน (คิดเป็น 0.6 และ 0.8 เปอร์เซ็นต์) ตามลำดับ ตรวจสอบการมีอยู่ของยีนโดยใช้ไพรเมอร์ของยีน *hygromycin phosphotransferase (hpt)* พบรัตต์ที่มีແບดีเอ็นเอทั้งหมด 1 และ 4 ตัน ตามลำดับ จากนั้นตรวจสอบการแสดงออกของยีนในระดับอาร์เอ็นเอ พบรากурсของยีนทั้งในส่วนโคนตันและใบ โดยต้นที่ได้รับการถ่ายยีน DCS และ CURS ที่ตรวจพบยีนเครื่องหมาย มีความเข้มของແບดีเอ็นเอและปริมาณดีเอ็นเอที่ได้จากการทำปฎิกริยา RT-PCR น้อยกว่าต้นที่ไม่ได้รับการถ่ายยีน จำนวน 1 และ 2 ตัน ตามลำดับ แสดงว่าบริเวณที่ออกแบบยีน DCS และ CURS ที่ใช้ในครั้งนี้เป็นบริเวณที่มีความสำคัญสามารถลดการแสดงออกของยีนได้สำเร็จ

คำสำคัญ: ขมิ้นชัน, RNA interference, เคอร์คูมินอยด์

⁽¹⁾ ภาควิชาพันธุศาสตร์ คณะวิทยาศาสตร์ มหาวิทยาลัยเกษตรศาสตร์ เขตฯตุ้กร กรุงเทพฯ 10900

Department of Genetics, Faculty of science, Kasetsart University, Bangkok 10900 Thailand.

ABSTRACT

Pathway of curcuminoids biosynthesis in *Curcuma longa* was reported. They are synthesized by the coordination of two enzyme clusters, diketide-CoA synthase (DCS) and curcumin synthase (CURS). These two genes have been cloned. Therefore, specific primers were designed to amplify the fragment of DCS and CURS genes from turmeric. The fragment from each gene was separately joined in the inverted orientation for the construction of the plasmid for RNA interference technique using Gateway recombination system. The plasmid pSTARGATE harboring the DCS or CURS gene in the RNAi construct was transformed to turmeric shoots. Cocultivation of *Agrobacterium tumefaciens* strain EHA105 and turmeric shoot tissue was done followed by *in vitro* propagation of turmeric shoot on MS medium supplemented with 10 µg/ml hygromycin. Three (0.6%) and 4 (0.8%) putative DCS and CURS transformed plants were obtained. One of the DCS and all of the CURS transformed plants showed the presence of *hpt* marker gene by PCR. The expression of the target genes were also reduced in one DCS transformed plant with positive *hpt* gene and two CURS transformed plants. The result indicated that the region of DCS and CURS genes in this construct were successfully used for down regulation of these genes expression.

Key words: turmeric, *Curcuma longa*, RNA interference, curcuminoid

บทนำ

ขมิ้นชัน (*Curcuma longa* L.) มีถิ่นกำเนิดในประเทศไทยและเอเชียใต้ และเอเชียตะวันออกเฉียงใต้ (สถาบันวิจัยพืชสมุนไพร, 2544) แต่ปลูกมากในประเทศไทยและจีน ส่วนของขมิ้นที่นำมาใช้ประโยชน์คือ ลำต้นได้ดิน ที่เรียกว่าเหง้า หรือ หัวและราก เหง้าของขมิ้นมีสารสำคัญ 2 กลุ่ม คือ น้ำมันหอมระเหย และสารเคอร์คูมินอยด์ซึ่งมีสีเหลือง ใช้เป็นส่วนประกอบในอาหาร และยาสมุนไพรหลายชนิด สารในกลุ่มเคอร์คูมินอยด์ที่มีมาก คือ เคอร์คูมิน ซึ่งมีคุณสมบัติเป็นสารลดการอักเสบ ต้านการเกิดออกซิเดชัน ต้านเชื้อไวรัส HIV ต้านมะเร็ง และมีฤทธิ์ยับยั้งโปรตีนที่ทำให้เกิดโรคบางชนิด (Araújo and Leon, 2001) ในประเทศไทย ขมิ้นชันเป็นพืชสมุนไพรที่ได้รับความนิยม และส่งเสริมให้มีการปลูกอย่างแพร่หลาย นำมาใช้เป็นส่วนประกอบของอาหาร ยา และเครื่องสำอางหลายชนิด มีรายงานพบว่าสารเคอร์คูมินอยด์ในเหง้าที่มีอายุต่างกันมีปริมาณไม่เท่ากัน (Chavalittumrong and Jirawattanapong, 1992) ขมิ้นชันต่างพันธุ์ผลิตสารเคอร์คูมินอยด์ได้ไม่เท่ากันและแม้แต่ในพันธุ์เดียวกันถ้าปลูกในสภาพแวดล้อมที่ต่างกัน ผลผลิตของสารเคอร์คูมินอยด์ก็แตกต่างกันด้วย (ชัยพัฒน์ และคณะ, 2535)

สารกลุ่มโพลีคีเทอเด (polyketide) เป็นสารที่สังเคราะห์จากลิ่งมีซีวิตทั้งแบคทีเรีย เชื้อรา และพืช เป็นผลิตภัณฑ์ธรรมชาติ จัดเป็นสารที่ดิบ (secondary metabolite) มีคุณสมบัติต้านเชื้อรา (antifungi) ต้านเชื้อแบคทีเรีย (antibacteria) ต้านมะเร็ง (anticancer) (Hopwood and Sherman, 1990; Shen and Hutchinson, 1993) ทำให้สารกลุ่มนี้มีความสำคัญทางการแพทย์ในการนำไปผลิตยา เช่น tetracycline,

daunorubicin, erythromycin, rapamycin และ lovastatin (Shen, 2003) การสังเคราะห์โพลีค์ไทด์อาศัยการทำงานของเอนไซม์ polyketide synthase (PKS) ซึ่งทำงานคล้ายกับเอนไซม์ fatty acid synthase (FAS) ในกระบวนการสังเคราะห์กรดไขมันสายยาว (long-chain fatty acid) ของยูแคริโอด การสังเคราะห์โพลีค์ไทด์เริ่มจาก acetyl-CoA เป็นโมเลกุลเริ่มต้น (starter molecule) แล้วใช้ malonyl-CoA เป็นโมเลกุลต่อเติม (extender molecule) มาสร้างคาร์บอนสายหลัก (Hopwood and Sherman, 1990) แต่การทำงานของเอนไซม์ PKS ต่างจากเอนไซม์ FAS คือ มีความหลากหลายในการเลือกโมเลกุลเริ่มต้นและโมเลกุลต่อเติม เช่น propionyl-CoA และ butyryl-CoA ทำให้โพลีค์ไทด์มีสายcarbonหลักที่ต่างกัน เมื่อสังเคราะห์carbonบนสายหลักอาจเกิดการเข้ามาร่วมกันเป็นวงแหวนอะโรมาติก (aromatic ring) หรือวงแหวนแลคโตน (lactone ring) และมีการตัดเปล่งโครงสร้างภายในหลัง (post-modification) เช่น เติมหมู่เมทธิล (-CH₃) ไฮดรอกซิล (-OH) ทำให้สารที่ได้มีคุณสมบัติเป็นสารออกฤทธิ์ทางชีวภาพ (อรินทิพย์, 2541; Thamchaipenet, 1999) เอนไซม์ PKS ของแบคทีเรียสามารถแบ่งได้ 3 ชนิด คือ เอนไซม์ PKS ชนิดที่ 1 (Type I PKS) ชนิดที่ 2 (Type II PKS) และชนิดที่ 3 (Type III PKS)

เอนไซม์ chalcone synthase (CHS) อยู่ใน superfamily ของเอนไซม์ PKS ชนิดที่ 3 (Austin and Noel, 2003) เป็นเอนไซม์ที่เกี่ยวข้องกับการสังเคราะห์สารฟลาโวนอยด์ (flavonoid) โดยสังเคราะห์สารตั้งต้น (precursor) ของสารกลุ่มฟลาโวนอยด์ คือ naringenin chalcone ซึ่งใช้ p-coumaroyl-CoA เป็นโมเลกุลเริ่มต้นแล้วนำ malonyl-CoA 3 โมเลกุลมาร่วม (Dixon, 1999) เอนไซม์ CHS มีบทบาทสำคัญในการสังเคราะห์สารที่ออกฤทธิ์ทางชีวภาพ เช่น ยับยั้งการเจริญเติบโตของจุลทรรศ์ (antimicrobial phytoalexin) ต้านมะเร็ง (cancer chemopreventive phenylpropanoid) เป็นตัวหนี่ยวนำ (inducer) ของสารฟลาโวนอยด์ (Schröder, 1999) จากการศึกษาเอนไซม์ CHS ในพืชต่าง ๆ พบ chalcone synthase related enzyme (CHS-like) จัดอยู่ใน superfamily ของเอนไซม์ CHS มีลำดับกรดอะมิโนเหมือนของเอนไซม์ CHS ประมาณ 60-75% เช่น stilbene synthase (STS) (Schöppner and Kindl, 1984), acridone synthase (ACS) (Lukacin *et al.*, 1999), 2-pyrone synthase (2PS) (Eckermann *et al.*, 1998), phlorisovalerophenone synthase (VPS) (Okada and Ito, 2001), bibenzyl synthase (BBS) (Preisig-Mueller *et al.*, 1995), aloesone synthase (ALS) (Abe *et al.*, 2004) การทำงานของเอนไซม์ CHS-like ใช้โมเลกุลเริ่มต้นและจำพวก malonyl-CoA ต่างกันออกไป (Dixon, 1999) เช่น เอนไซม์ ALS ใช้ acetyl-CoA เป็นโมเลกุลเริ่มต้น และใช้ malonyl-CoA 6 โมเลกุลเป็นหน่วยต่อเติม (Abe *et al.*, 2004)

ยืนที่เป็นรหัสของเอนไซม์ CHS และเอนไซม์ CHS-like เป็น multigene family โครงสร้างยืนส่วนใหญ่ประกอบด้วย 2 เอกซอน (exons) และ 1 อินทรอน (intron) ในพืชแต่ละชนิดมีความยาวของเอกสารและอินทรอนไม่เท่ากัน ยกเว้นใน *Antirrhinum majus* มี 2 อินทรอน โดย อินทรอนที่ 2 อยู่ในเอกสารที่ 2 เมื่อเทียบกับยืนเดียวกันในพืชอื่น (Sommer and Saedler, 1986) ยืน CHS นั้นพบได้หลายชุดต่างกันขึ้นกับชนิดพืช เช่น *Pitunia* มี 8 ยืน *Vitis* มี 3 ยืน *Ipomoea* มี 6 ยืน ใน *Antirrhinum* และ *Arabidopsis* พบเพียง 1 ยืน (Farzad *et al.*, 2005) บางยืนรู้หน้าที่แล้ว แต่บางยืนยังไม่รู้หน้าที่ จากการทำ phylogenetic tree ของเอนไซม์ PKS ชนิดที่ 3 ที่พบในแบคทีเรียและพืช พบว่าเอนไซม์ PKS ชนิดที่ 3 จากพืชและแบคทีเรียแบ่งกลุ่มกันอย่างชัดเจน (Abe *et al.*, 2004)

จากเอกสารต่าง ๆ ที่ศึกษาเกี่ยวกับยีน CHS และ CHS-like แสดงถึงความหลากหลายของยีนนี้ โดยการทำงานของเอนไซม์ที่สร้างขึ้นจะใช้โมเลกุลตั้งต้นที่ต่างกัน และผลผลิตที่ได้มีโครงสร้างหลายแบบ ซึ่งยังคงพบหมู่คีโตน ไอก្រอกซิล หรือการบอนที่มีพันธะคู่ ออยูในโมเลกุล นับเป็นลักษณะเฉพาะของสารโพลีคีโนฟาร์โคร์คูมินอยด์เกิดจากปฏิกิริยาการรวมกันของ coumaroyl-CoA, feruloyl-CoA และ malonyl-CoA โดยเอนไซม์ curcuminoid synthase (Ramirez-Ahumada et al., 2006) ซึ่งเป็นเอนไซม์ในกลุ่ม PKS กลุ่มที่ 3 (Brand et al., 2006) อย่างไรก็ตามการวิเคราะห์กิจกรรมของเอนไซม์ที่ได้พบในใบขี้มันแต่ไม่พบในหัวจึงมีข้อสงสัยอยู่จากการสืบค้นข้อมูลจากฐานข้อมูล GenBank พบว่ามีความสำคัญในการสร้างสารโคร์คูมินอยด์ในใบขี้มันชัน มี 2 ยีน ได้แก่ ยีน DCS (diketide-CoA synthase) และ CURS (curcumin synthase) DCS ทำหน้าที่สังเคราะห์ diketide CoA ester จาก feruloyl-CoA และ malonyl-CoA โดยพบว่าเอนไซม์ DCS ชอบใช้ feruloyl-CoA เป็นสารตั้งต้นมากกว่า p-coumaroyl-CoA ทำให้พบปริมาณสารโคร์คูมินมากกว่าสารอีกสองชนิด (Katsuyama et al., 2009a) ส่วน CURS มี 3 ยีน คือ CURS1, CURS2 และ CURS3 โดยพบว่าเอนไซม์ CURS2 และ CURS3 เป็น isozyme กับ CURS1 ทำหน้าที่เปลี่ยน diketide-CoA ester เป็นสารโคร์คูมินอยด์ (Katsuyama et al., 2009b) การโคลนยีนและศึกษาการแสดงออกของยีนที่ควบคุมการสังเคราะห์สารโคร์คูมินอยด์จึงเป็นเรื่องที่น่าสนใจ และหลังจากการโคลนยีนแล้ว วิธีที่ใช้ตรวจสอบยืนยันว่ามีที่ได้เป็นยีนที่ต้องการจริง ปัจจุบันนิยมทำ RNA interference เพื่อดูผลที่เกิดขึ้นในพืช หลังจากยับยั้งการแสดงออกของยีนซึ่งเป็นวิธีที่มีประสิทธิภาพมาก

วิธีวิจัย

การเพาะเลี้ยงเนื้อเยื่อมีนชัน

นำเหง้ามีนชันมาเพาะเพื่อให้งอกเป็นหน่ออ่อนสำหรับเพาะเลี้ยงเนื้อเยื่อ หลังจากมีนชันออกแล้ว นำมาล้างทำความสะอาดเดาดินออก ตัดเฉพาะส่วนต่ามีนชัน ลอกเปลือกและผิวนอกออก จากนั้นล้างด้วยน้ำสูตรและน้ำให้สะอาดก็อกจนสะอาด ล้างด้วย 70% เอทานอลประมาณ 30 วินาทีในขวดที่มีไครเซ็คแล้ว เช่นเดียวกัน 70% เอทานอลทิ้ง เติม 20% Clorox + tween-20 ประมาณ 1-2 หยด นำไปเขย่าในเครื่องเช่นเดียวกัน 20 นาทีให้เกิดฟอง สังเกตความช้าของพืชด้วย นำไปล้างด้วยน้ำกัลล์ที่มีน้ำยาเชือแล้ว (ทำในตู้ laminar flow) ประมาณ 3-4 ครั้ง ๆ ละ 5 นาที จนกว่าฟองจะหมด เทน้ำกัลล์ทิ้ง นำตัวมีนชันมาตัดส่วนเกินออกและตัดแต่งให้สะอาดปลอดเชือ นำชิ้นต่าของมีนชันที่ปลอดเชือใส่ลงขวดอาหารสูตร MS (Murashige and Skoog, 1962) ที่เติม BA (N^6 -benzyladenine) 2 มิลลิกรัมต่อลิตร เลี้ยงในห้องเพาะเลี้ยงเนื้อเยื่อประมาณ 2-3 สัปดาห์ หลังจากนั้นย้ายยอดขึ้นมีนชันลงอาหารสูตร MS ที่เติม BA 3 มิลลิกรัมต่อลิตร เพื่อเพิ่มจำนวนยอดและราก

การซักนำให้เนื้อเยื่อมีนชันเกิดเหง้าและ/หรือแคลคลัส

การซักนำให้เกิดเหง้าในอาหารเพาะเลี้ยง ทำโดยเลี้ยงส่วนยอดขึ้นมีนชันบนอาหารสูตร MS ที่เติม BA 2 มิลลิกรัมต่อลิตร และน้ำตาลซูโคส 30, 60 และ 90 กรัมต่อลิตร และรุ่น 7.2 กรัมต่อลิตร pH 5.6-5.8

เพาะเลี้ยงในห้องเพาะเลี้ยงเนื้อเยื่อที่มีความเข้มแสง 1,500 ลักซ์ อุณหภูมิ 25 ± 2 องศาเซลเซียส แบ่งการทดลองเป็น 2 ชุด ชุดหนึ่งเลี้ยงในที่ที่ได้รับแสง 16 ชั่วโมงต่อวัน และอีกชุดหนึ่งเลี้ยงในที่มีด

การซักก้น้ำให้เกิดแคลลัส ทำโดยนำส่วนตายอดขึ้นชั้นมาเลี้ยงบนอาหารสูตร MS ที่เติม BA 0 และ 3 มิลลิกรัมต่อลิตร และ 2,4-D 0, 1, 2, 3, 4 และ 5 มิลลิกรัมต่อลิตร

ออกแบบไพรเมอร์เพื่อเพิ่มปริมาณส่วนของยีน DCS และ CURS

สกัดดีเอ็นเอจากใบอ่อนของขมิ้นชัน ตามวิธีของ Agrawal et al. (1992) ออกแบบไพรเมอร์เพื่อเพิ่มปริมาณส่วนของยีน DCS และ CURS จากฐานข้อมูล (database) โดยเบรียบเทียบลำดับเบส และสังเคราะห์ไพรเมอร์จากตำแหน่งที่เหมาะสม เพิ่มปริมาณส่วนของยีนที่ใช้ในการสร้าง RNAi vector โดยออกแบบไพรเมอร์ยีนละ 3 ไพรเมอร์ ได้แก่ DCS-F, DCS-R, DCSi-R, CURS-F, CURS-R และ CURSi-R ลำดับเบสของไพรเมอร์แสดงในตารางที่ 1

ตารางที่ 1 แสดงลำดับเบสของไพรเมอร์

ไพรเมอร์	ลำดับเบส
DCS-F	5'-CAACAGCACGCCAGTCGA-3'
DCS-R	5'-GTGCTGTTCATCCTGGACGAG-3'
DCSi-R	5'-CCGAGCGATCCTGGACCAGG-3'
CURS-F	5'-TCAGCTCATCCATCACGAAGTACAC-3'
CURS-R	5'-CATCATTGACGCCATCGAAGC-3'
CURSi-R	5'-ATCATGCCGACAACCTCGG-3'

การเพิ่มปริมาณชิ้นส่วนดีเอ็นเอด้วยวิธี PCR

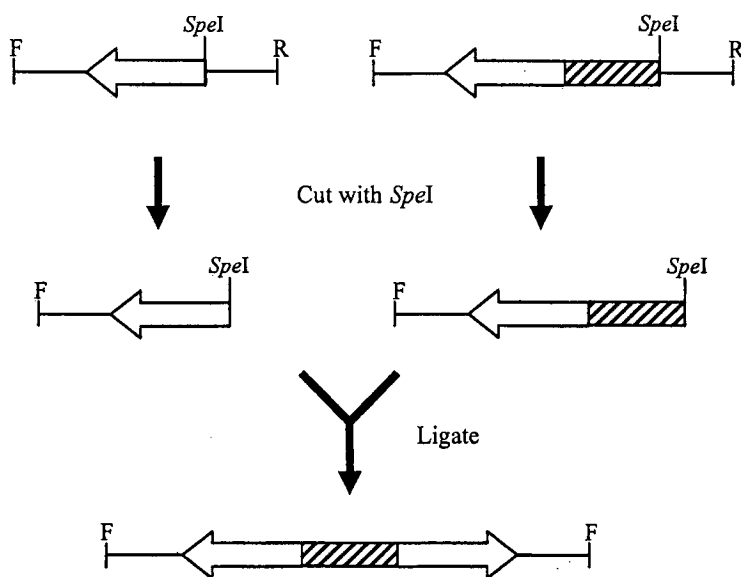
เพิ่มปริมาณชิ้นส่วนของยีนทั้ง 2 ยีน จากดีเอ็นเอของขมิ้นชัน ด้วยวิธี PCR โดยเริ่มน้ำมันที่อุณหภูมิ 94 องศาเซลเซียส เป็นเวลา 3 นาที จากนั้นดำเนินปฏิกิริยาทั้งหมด 40 รอบ โดยแต่ละรอบประกอบด้วยชั้นตอนบ่มที่อุณหภูมิ 94 องศาเซลเซียส เป็นเวลา 10 วินาที, 55 องศาเซลเซียส เป็นเวลา 15 วินาที และ 72 องศาเซลเซียส เป็นเวลา 15 วินาที สุดท้ายบ่มที่อุณหภูมิ 72 องศาเซลเซียส เป็นเวลา 5 นาที เพื่อให้ปฏิกิริยาเกิดสมบูรณ์ ตรวจสอบผลด้วยวิธีอิเล็ก tro-PCR ในเจลอะกาโรส

เชื่อมต่อชิ้นดีเอ็นเอที่ได้จากการเพิ่มปริมาณด้วย PCR กับพลาสมิด pGEM[®]-T easy vector และถ่ายเข้าสู่แบคทีเรีย E. coli หลังจากนั้นคัดเลือกโคลนที่มีชิ้นส่วนดีเอ็นเอที่ต้องการโดยใช้วิธี PCR และสกัดพลาสมิดออกจากโคลนที่มีชิ้นส่วนดีเอ็นเอที่ต้องการ เพื่อหาลำดับเบสต่อไป

การสร้างพลาสมิด RNAi vector ที่มีชิ้นส่วนของยีนหันในทิศตรงกันข้าม (inverted repeat)

เลือกโคลนที่มีชิ้นดีเอ็นเอแทรกอยู่ในพลาสมิดในทิศทางเดียวกันของแต่ละยีน เพิ่มปริมาณชิ้นดีเอ็นเอโดยใช้เพรเมอร์ F-bact และ R-bact ที่อยู่ในพลาสมิด pGEM[®]-T easy vector จากนั้นตัดชิ้นดีเอ็นเอด้วยเอนไซม์ตัดจำเพาะ SpeI ตัดชิ้นส่วนที่ต้องการและสกัดดีเอ็นเอที่ได้ออกจากอะก้าโรสเจล แล้วเชื่อมชิ้นดีเอ็นเอเข้าด้วยกันด้วยเอนไซม์ T4 DNA ligase (ภาพที่ 1)

เชื่อมต่อชิ้นดีเอ็นเอที่ได้กับพลาสมิด pGEM[®]-T easy vector และถ่ายเข้าสู่แบคทีเรีย E. coli หลังจากนั้นคัดเลือกโคลนที่มีชิ้นส่วนดีเอ็นเอที่ต้องการโดยใช้ชีรีซี PCR และสกัดพลาสมิดออกจากโคลนที่มีชิ้นส่วนดีเอ็นเอที่ต้องการ เพื่อหาลำดับเบส



ภาพที่ 1 แผนภาพแสดงการสร้างชิ้นดีเอ็นเอที่มีส่วนของ inverted repeat

การสร้างพลาสมิด RNAi vector ที่มีชิ้นส่วนของยีนหันในทิศตรงกันข้ามโดยใช้ Gateway[®] Recombination system

เพิ่มปริมาณส่วนของยีน DCSi และ CURSi ด้วยวิธี PCR ตามวิธีที่กล่าวมาแล้ว เชื่อมต่อชิ้นดีเอ็นเอที่ได้กับพลาสมิด pGEM[®]-T easy vector และถ่ายเข้าสู่แบคทีเรีย E. coli หลังจากนั้นคัดเลือกโคลนที่มีชิ้นส่วนดีเอ็นเอที่ต้องการ และสกัดพลาสมิดเพื่อหาลำดับเบสต่อไป

เตรียมพลาสมิด pENTRY vector ที่มีชิ้นส่วนของยีน DCSi และ CURSi

นำพลาสมิด pENTR[™] 1A vector ตัดด้วยเอนไซม์ตัดจำเพาะ EcoRI และทำปฏิกิริยาดึงหมู่ฟอสเฟตที่ปลาย 5' ออกด้วยเอนไซม์ alkaline phosphatase หลังจากนั้นตัดชิ้นพลาสมิดที่ต้องการและสกัดออกจากอะก้าโรสเจล

เลือกโคลนที่มีชิ้นดีเอ็นเอแทรกอยู่ในพลาสมิด pGEM[®]-T easy vector ในทิศทางเดียวกันของแต่ละยีน จากนั้นตัดพลาสมิดด้วยเอนไซม์ตัดจำเพาะ EcoRI ตัดชิ้นส่วนที่ต้องการและสกัดดีเอ็นเอที่ได้ออกจากอะก้าโรสเจล แล้วเชื่อมชิ้นดีเอ็นเอกับพลาสมิด pENTR[™] 1A vector ด้วยเอนไซม์ T4 DNA ligase และถ่ายเข้าสู่

แบปค์ทีเรีย *E. coli* หลังจากนั้นคัดเลือกโคลนที่มีชิ้นส่วนดีเย็นเอ็นที่ต้องการโดยใช้วิธี PCR และสกัดพลาสมิดออกจากโคลนที่มีชิ้นส่วนดีเย็นเอ็นที่ต้องการ สงเพื่อหาลำดับเบสต่อไป

การถ่ายชิ้นส่วนยืนเข้าสู่พลาสมิด pDESTINATION vector ด้วยปฏิกิริยา LR clonase

เลือกโคลนที่มีชิ้นดีเย็นเอ็นแทรกอยู่ในพลาสมิด pENTR™ 1A vector และเปลี่ยนชิ้นส่วนยืนเข้าสู่พลาสมิด pSTARGATE vector ด้วยปฏิกิริยา LR clonase reaction หลังจากนั้นถ่ายพลาสมิดเข้าสู่แบปค์ทีเรีย *E. coli* และคัดเลือกโคลนที่มีชิ้นส่วนดีเย็นเอ็นที่ต้องการ แล้ววิจัยถ่ายพลาสมิดที่ได้เข้าสู่ *Agrobacterium tumefaciens* สายพันธุ์ EHA105 เพื่อใช้ในการถ่ายยืนเข้าสู่ดินขมิ้นชัน

การถ่ายยืนเข้าสู่ดินขมิ้นชันโดย *Agrobacterium tumefaciens*

เลี้ยงเชื้อ *Agrobacterium tumefaciens* สายพันธุ์ EHA105 ที่มีพลาสมิด pSTARGATE ที่ได้จากการทำ GATEWAY® recombination ในอาหารเหลว LB ที่มียาปฏิชีวนะ spectinomycin 50 มิลลิกรัมต่อลิตร และ rifampicin 50 มิลลิกรัมต่อลิตร บนเครื่องขยายความเร็ว 200 รอบต่อนาที อุณหภูมิ 28 องศาเซลเซียส เป็นเวลา 24 ชั่วโมง หรือจนกระทั่งมีค่า OD ที่ความยาวคลื่น 600 นาโนเมตร เท่ากับ 0.5 – 0.6 จากนั้นปั่นเหวี่ยงที่ความเร็ว 4000 รอบต่อนาที เป็นเวลา 15 นาที เทオหารทึ้ง นำอาหารเหลวสูตร MS ที่เติม BA 2 มิลลิกรัมต่อลิตรละลายตะกอนเซลล์ และเติม acetosyringone ความเข้มข้น 200 ไมโครโมลาร์ นำไปเลี้ยงนาน 3 ชั่วโมง ก่อนทำการปั่นร่วมกับชิ้นส่วนยอดเป็นเวลา 30 นาที โดยอาศัยคลื่นเสียง sonicate จากนั้นขับเชื้อ *A. tumefaciens* ออกด้วยกระดาษทิชชูปลดเชื้อ ก่อนย้ายลงอาหารสูตร MS ที่เติม BA 2 มิลลิกรัมต่อลิตรและ acetosyringone ความเข้มข้น 200 ไมโครโมลาร์ เป็นเวลา 2 วัน แล้ววิจัยกำจัด *A. tumefaciens* โดยล้างชิ้นส่วนยอดในน้ำกลั่นปลดเชื้อที่เติม cefotaxime เข้มข้น 500 มิลลิกรัมต่อลิตร ข้ามคืน จากนั้นนำชิ้นส่วนยอดขับให้แห้งบนกระดาษทิชชูปลดเชื้อ เพาะเดี้ยงลงบนอาหารสูตรเดิมที่เติม cefotaxime เข้มข้น 300 มิลลิกรัมต่อลิตร และ hygromycin 10 มิลลิกรัมต่อลิตร เพาะเดี้ยงที่อุณหภูมิ 25 ± 2 องศาเซลเซียส ในสภาพแสงสีขาว ให้แสง 16 ชั่วโมงต่อวัน เพื่อคัดเลือกเนื้อเยื่อขมิ้นชันที่ได้รับการถ่ายยืน เป็นเวลา 2 เดือนโดยเปลี่ยนอาหารทุกๆ เดือน

การตรวจสอบยืนที่ถ่ายเข้าสู่ดินขมิ้นชันโดยเทคนิค PCR

สกัดดีเอ็นเอจากยอดดินขมิ้นชันที่รอดชีวิตจากการคัดเลือกบนอาหารสูตร MS ที่เติมยาปฏิชีวนะไฮโกรมายินความเข้มข้น 10 ไมโครกรัมต่อมิลลิลิตร จากนั้นตรวจสอบการมีอยู่ของยีนเครื่องหมาย *hygromycin phosphotransferase (hpt)* ด้วยเทคนิค PCR โดยใช้คู่ไพรเมอร์ที่ออกแบบขึ้น คือ HPT-F (5'-ATGTCCTGC GGGTAAATAGC -3') และ HPT-R (5'-GCCTCCAGAAGAAGATGTTG-3') นำดีเอ็นเอที่สกัดได้มาเพิ่มปริมาณส่วนของยีนด้วยปฏิกิริยา PCR โดยเริ่มนับที่อุณหภูมิ 94 องศาเซลเซียส เป็นเวลา 5 นาที จากนั้นดำเนินปฏิกิริยาทั้งหมด 30 รอบ โดยแต่ละรอบประกอบด้วยขั้นตอนบ่มที่อุณหภูมิ 94 องศาเซลเซียส เป็นเวลา 1 นาที, 60 องศาเซลเซียส เป็นเวลา 1 นาที และ 72 องศาเซลเซียส เป็นเวลา 2 นาที สุดท้ายบ่มที่อุณหภูมิ 72 องศาเซลเซียส เป็นเวลา 5 นาที เพื่อให้ปฏิกิริยาเกิดสมบูรณ์ ตรวจสอบผลด้วยวิธีอิเล็ก trofotest ในเจลอะแอลกออล

การตรวจส่วนการแสดงออกของยีน DCS และ CURS โดย semi-quantitative RT-PCR

นำส่วนของใบและโคนต้นขึ้นรากที่ได้รับการถ่ายยืน สดๆ ตามวิธีของ Yu and Goh (2000) ละลายอาร์เอ็นเอในน้ำที่มี DEPC 30 มิโครลิตร เก็บไว้ที่อุณหภูมิ -80 องศาเซลเซียส นำอาร์เอ็นเอที่สกัดได้มาทำปฏิกิริยา RT-PCR โดยใช้ชุด One-Step RT-PCR (Life Technologies) โดยปฏิกิริยา ประกอบด้วย อาร์เอ็นเอ (ความเข้มข้น 50 นาโนกรัมต่อไมโครลิตร) 2 มิโครลิตร, 2X Reaction Mix 10 มิโครลิตร, forward primer และ reverse primer ความเข้มข้น 10 มิโครโมลาร์ อย่างละ 1 มิโครลิตร, RT/PLATINUM Taq Mix 1 มิโครลิตร และเติมน้ำกลั่น 5 มิโครลิตร เพื่อให้ได้ปริมาณรวม 20 มิโครลิตร เริ่มปั่นที่อุณหภูมิ 50 องศาเซลเซียส เป็นเวลา 30 นาที และปั่นต่อที่อุณหภูมิ 95 องศาเซลเซียส เป็นเวลา 3 นาที จากนั้นดำเนินปฏิกิริยา ทั้งหมด 40 รอบ โดยแต่ละรอบประกอบด้วยขั้นตอนปั่นที่อุณหภูมิ 95 องศาเซลเซียส เป็นเวลา 10 วินาที, 55 องศาเซลเซียส เป็นเวลา 15 วินาที และ 72 องศาเซลเซียส เป็นเวลา 15 วินาที สุดท้ายปั่นที่อุณหภูมิ 72 องศาเซลเซียส เป็นเวลา 5 นาที เพื่อให้ปฏิกิริยาเกิดสมบูรณ์ ตรวจสอบผลด้วยวิธีอิเล็กโทรโฟรีซsin เจลอะกาโรส 1 เปอร์เซ็นต์

นำอาร์เอ็นเอที่สกัดได้ มาทำปฏิกิริยาแบบ semi-quantitative RT-PCR เพื่อวัดปริมาณการเข็นเอโดยประมาณ โดยเพิ่มปริมาณชิ้นส่วนยีน 18S rRNA ขนาด 101 คู่เบส เป็นยีนอ้างอิงในการปรับให้ความเข้มข้นของอาร์เอ็นเอต้นแบบของทุกๆ ตัวอย่างมีค่าเท่ากัน โดยออกแบบคู่ไพรเมอร์ 18S rRNA-F (5'-CCTTC CTCTAAATGATAAGGTTCAATGG-3') และ 18S rRNA-R (5'-GATTGAATGGTCCGGTGAAGTGTT-3') ทำปฏิกิริยา RT-PCR โดยใช้ไพรเมอร์ของยีน DCS และ CURS และทำปฏิกิริยาลูกโซ่โพลิเมอเรส จำนวน 15, 20, 25, 30 และ 40 รอบ ตรวจสอบผลด้วยวิธีอิเล็กโทรโฟรีซsin เจลอะกาโรส 1 เปอร์เซ็นต์

ผลและวิจารณ์

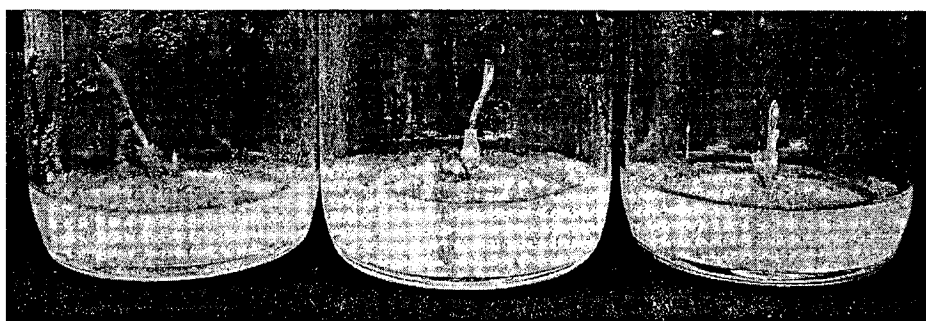
การเพาะเจี้ยงเนื้อเยื่อขึ้นราก

นำยอดอ่อนจากเหง้าของขึ้นรากมาล้างด้วยน้ำสะอาด ฟอกผ่าเข้าด้วยเบตาดีนเป็นเวลา 30 นาที หลังจากนั้นจุ่มใน.ethanol 70 เปอร์เซ็นต์ นาน 30 วินาที และฟอกในสารละลายนีโตรเมอร์ 15 เปอร์เซ็นต์ นาน 10 นาที เลี้ยงชิ้นส่วนยอดบนอาหารสูตร MS ที่เติม BA 2 มิลลิกรัมต่อลิตร เป็นเวลา 6 สัปดาห์ สามารถเพิ่มจำนวนยอดและรากได้ โดยมีจำนวนยอด 2-5 ยอด จำนวนราก 1-2 ราก (ภาพที่ 2)

ซักนำให้เกิดเหง้าขึ้นรากโดยเลี้ยงส่วนยอดขึ้นบนอาหารสูตร MS ที่เติม BA 2 มิลลิกรัมต่อลิตร และน้ำตาลซูโคส 30, 60 และ 90 กรัมต่อลิตร เลี้ยงในที่ที่ได้รับแสง 16 ชั่วโมงต่อวันและในที่มืด พบว่า ขึ้นรากเกิดยอดและราก แต่ยังไม่เกิดเหง้าในเวลา 3 สัปดาห์ โดยขึ้นรากที่เลี้ยงบนอาหารสูตร MS ที่เติม BA 2 มิลลิกรัมต่อลิตร และน้ำตาลซูโคส 30 กรัมต่อลิตรที่ได้รับแสง 16 ชั่วโมงต่อวันเกิดยอด 1-2 ยอด สีเขียว และเกิดราก 1-2 ราก สีขาว และพบว่า เมื่อปริมาณความเข้มข้นของน้ำตาลซูโคสในอาหารเพิ่มขึ้น จำนวนและความสูงของยอดขึ้นรากจะลดลง (ภาพที่ 3)

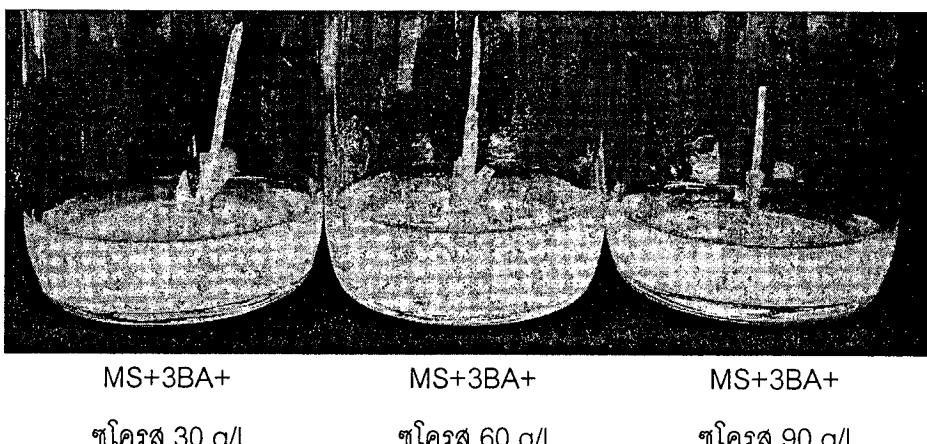


ภาพที่ 2 ยอดขมิ้นชันที่ฟอกซ่าเชือและเลี้ยงบนอาหารสูตร MS ที่เติม BA ความเข้มข้น 2 มิลลิกรัมต่อลิตร เป็นเวลา 1 เดือน



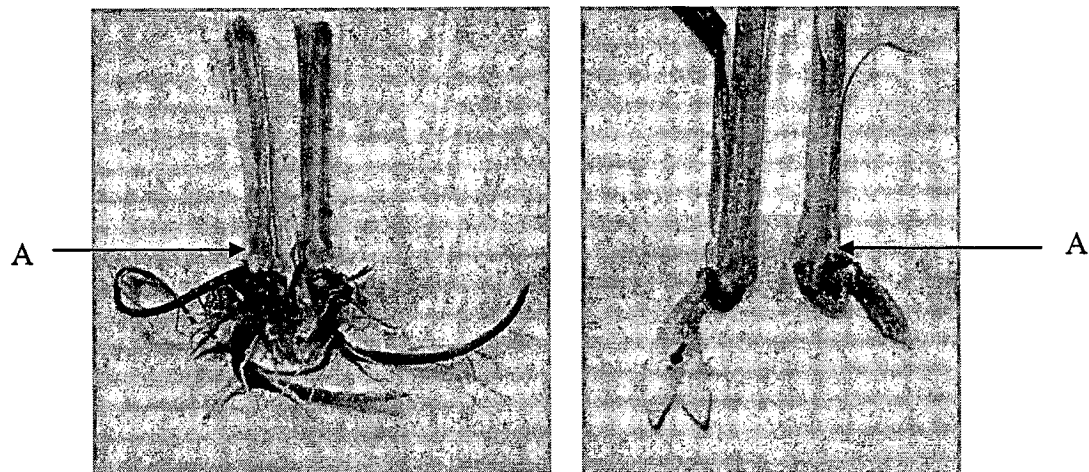
ภาพที่ 3 ยอดขมิ้นชันที่เพาะเลี้ยงบนอาหารสูตร MS ที่เติม BA 2 มิลลิกรัมต่อลิตร และน้ำตาลซูโครัส 30, 60 และ 90 กรัมต่อลิตร เลี้ยงในที่ที่ได้รับแสง 16 ชั่วโมงต่อวัน เป็นเวลา 3 สัปดาห์

ขมิ้นชันที่เลี้ยงบนอาหารสูตร MS ที่เติม BA 2 มิลลิกรัมต่อลิตร และน้ำตาลซูโครัส 30 กรัมต่อลิตรในที่มีเดเกิดยอด 1-2 ยอด สีขาว และพบว่า เมื่อปริมาณความเข้มข้นของน้ำตาลซูโครัสในอาหารเพิ่มขึ้น จำนวนและความสูงของยอดขมิ้นชันจะลดลง เช่นเดียวกับที่เพาะเลี้ยงให้ได้รับแสง (ภาพที่ 4)



ภาพที่ 4 ยอดขมิ้นชันที่เพาะเลี้ยงบนอาหารสูตร MS ที่เติม BA 2 มิลลิกรัมต่อลิตร และน้ำตาลซูโครัส 30, 60 และ 90 กรัมต่อลิตร เลี้ยงในที่มีเด เป็นเวลา 3 สัปดาห์

การทดสอบสูตรอาหารที่เหมาะสมในข้าวเกรียบไม่สามารถซักนำให้เกิดเหง้าในข้าวมันขันได้ จึงทดลองเปลี่ยนสูตรอาหารตามงานวิจัยของ Hashemy และคณะ (2009) โดยเลี้ยงยอดข้าวมันขันบนสูตรอาหาร MS ที่เติม NAA ความเข้มข้น 1 มิลลิกรัมต่อลิตร และ kinetin ความเข้มข้น 0.1 มิลลิกรัมต่อลิตร ที่เติมน้ำตาลซูโครัส 30 และ 60 กรัมต่อลิตร เลี้ยงในที่ให้แสง 8 และ 16 ชั่วโมงต่อวัน พบว่าในทุกสูตรอาหารมีการแตกยอดใหม่ 1-2 ยอด มีความยาวของยอดเพิ่มขึ้น สวนโคนของยอดมีลักษณะอวบ พบรากสะสมสารเครื่องคูมินอยด์ที่มีสีเหลืองบริเวณโคน (ภาพที่ 5) และพบว่ามีรากเกิดขึ้นจำนวนมาก โดยหากที่เกิดขึ้นมีลักษณะเป็นสีขาวและเขียว มีขนาดใหญ่ ควบ มีขันรากจำนวนมาก แต่ไม่พบการสะสมสารสีเหลืองเกิดขึ้น



ภาพที่ 5 ยอดข้าวมันขันที่เลี้ยงบนอาหารสูตร MS ที่เติมน้ำตาลซูโครัส 30 กรัมต่อลิตร และ kinetin ความเข้มข้น 0.1 มิลลิกรัมต่อลิตร ที่เติมน้ำตาลซูโครัส 30 กรัมต่อลิตรและให้แสง 16 ชั่วโมงต่อวัน เป็นเวลา 1 เดือน (A) บริเวณโคนต้นที่มีการสะสมของสารเครื่องคูมินอยด์

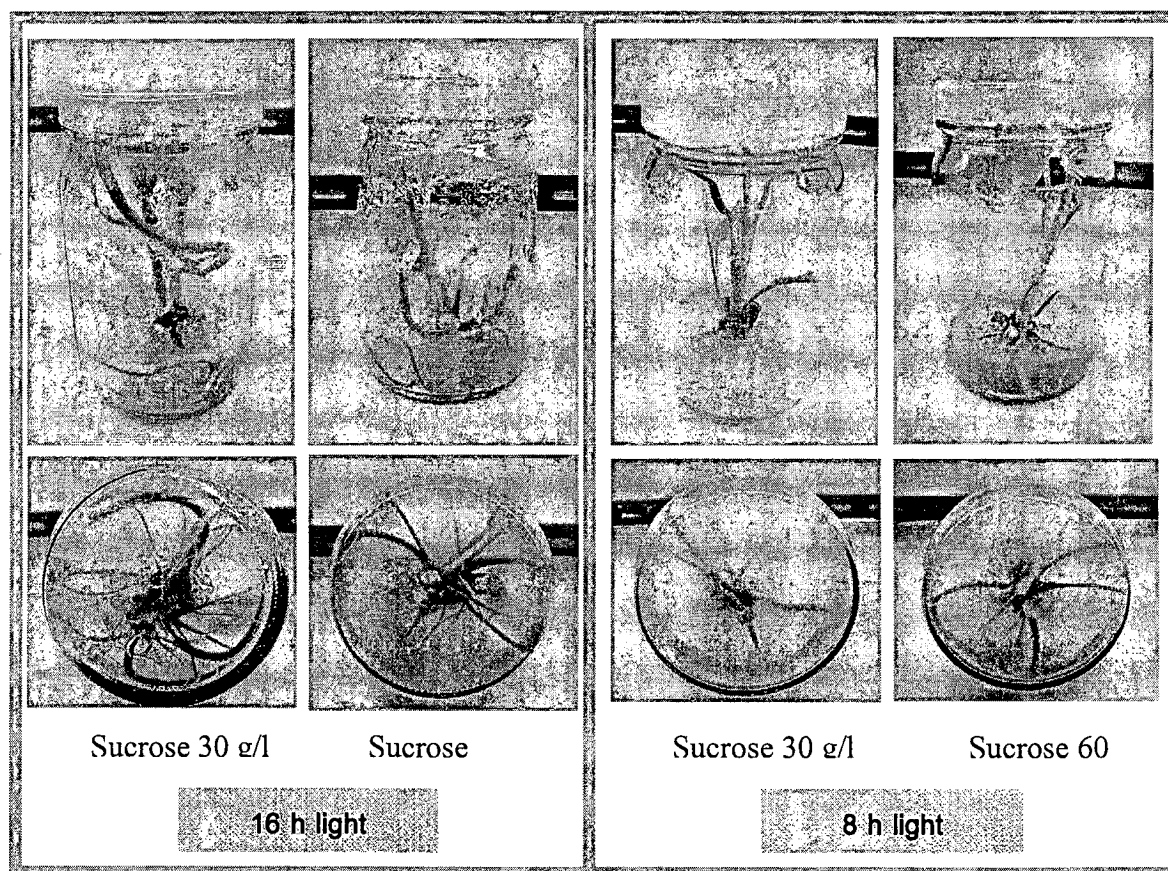
ยอดข้าวมันขันที่เลี้ยงบนอาหารที่เติมน้ำตาลซูโครัส 30 กรัมต่อลิตร ให้แสง 16 ชั่วโมงต่อวัน มีจำนวนยอดและความยาวยอดไม่แตกต่างจากยอดที่เลี้ยงบนอาหารที่เติมน้ำตาลซูโครัส 60 กรัมต่อลิตร รากที่เกิดขึ้นในยอดที่เลี้ยงบนอาหารที่เติมน้ำตาลซูโครัส 30 กรัมต่อลิตรจะมีจำนวนรากและความยาวรากมากกว่ายอดที่เลี้ยงบนอาหารที่เติมน้ำตาลซูโครัส 60 กรัมต่อลิตร แต่พบว่าไม่มีความแตกต่างของยอดที่เลี้ยงในที่ให้แสง 8 ชั่วโมงต่อวัน สำหรับยอดข้าวมันขันที่เลี้ยงในที่ให้แสง 8 และ 16 ชั่วโมงต่อวัน พบว่าข้าวมันขันที่เลี้ยงในที่ให้แสง 16 ชั่วโมงต่อวัน มีความยาวรากและขนาดรากมากกว่ายอดที่เลี้ยงในที่ให้แสง 8 ชั่วโมงต่อวัน (ภาพที่ 6)

สำหรับการซักนำให้เกิดแคลลัสในข้าวมันขัน ทดลองนำส่วนตากยอดข้าวมันขันเลี้ยงบนอาหารสูตร MS ที่เติม BA 0 และ 2 มิลลิกรัมต่อลิตร และ 2,4-D 0, 1, 2, 3, 4 และ 5 มิลลิกรัมต่อลิตร พบรากไม่สามารถซักนำไปให้เกิดแคลลัสได้ จึงหยุดการทดลองในส่วนนี้ไป

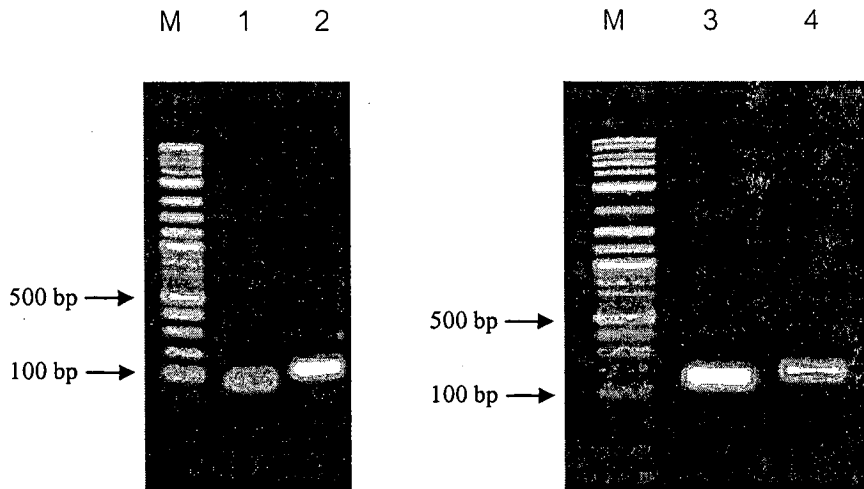
การออกแบบไพรเมอร์เพื่อเพิ่มปริมาณส่วนของยีน DCS, DCSi, CURS และ CURSi

จากการสืบค้นข้อมูลจากฐานข้อมูล GenBank พบรายีนที่มีความสำคัญในการสร้างสารเคอร์คุมินอยู่ด้วยมีนิชัน มี 2 ยีน ได้แก่ ยีน DCS (*diketide-CoA synthase*) และ CURS (*curcumin synthase*) (Katsuyama et al., 2009) จึงออกแบบไพรเมอร์เพื่อเพิ่มปริมาณส่วนของยีน DCS ขนาด 90 คู่เบส และส่วนของยีนที่มีขนาดยาวขึ้นเพื่อให้เป็นส่วนซ้ำแบบกลับทิศ (inverted repeat) สำหรับทำโครงสร้างยีนแบบ hairpin คือ DCSi ขนาด 196 คู่เบส และชิ้นส่วนของยีน CURS ขนาด 125 คู่เบส และ CURSi ขนาด 229 คู่เบส เพื่อทำให้เกิดโครงสร้างทำงานเดียวกัน โดยออกแบบไพรเมอร์ยีนละ 3 ไพรเมอร์ ได้แก่ DCS-F, DCS-R, DCSi-R, CURS-F, CURS-R และ CURSi-R (ตารางที่ 1) โดยให้มีส่วนของลำดับเบสที่เหมือนกันของหงส่องริ้นในยีน DCS และ CURS ขนาด 90 คู่เบสและ 125 คู่เบสตามลำดับ แล้วนำไพรเมอร์มาใช้เพิ่มปริมาณส่วนของยีนด้วยวิธี PCR ได้ผลดังภาพที่ 7

นำชิ้นดีเอ็นเอที่ได้จากการเพิ่มปริมาณด้วย PCR มาโคลนในพลาสมิด pGEM[®]-T easy vector และถ่ายเข้าสู่แบคทีเรีย *E. coli* คัดเลือกโคลนที่มีชิ้นส่วนดีเอ็นเอสอดแทรกอยู่ นำไปหาลำดับเบส พบร่วม มีบางโคลนที่มีทิศทางไปทางเดียวกันตามที่ต้องการ (ภาพที่ 8)



ภาพที่ 6 ยอดxmีนชันที่เลี้ยงบนอาหารสูตร MS ที่เติม NAA ความเข้มข้น 1 มิลลิกรัมต่อลิตร และ kinetin ความเข้มข้น 0.1 มิลลิกรัมต่อลิตร ที่เติมน้ำตาลซูครอส 30 และ 60 กรัมต่อลิตร เลี้ยงในที่ให้แสง 8 และ 16 ชั่วโมงต่อวัน เป็นเวลา 1 เดือน



ภาพที่ 7 ແບບดีเอ็นເක່າທີ່ໄດ້ຈາກການເພີ່ມປົງມານດີເຂັ້ມງວດຂອງມິນຫັນດ້ວຍວິທີ PCR ແລະ M) ດີເຂັ້ມໂຄມາຕຽບສູງ 1 Kb DNA Ladder 1) ຂຶ້ນດີເຂັ້ມເສວນ DCS 2) ຂຶ້ນດີເຂັ້ມເສວນ CURS 3) ຂຶ້ນດີເຂັ້ມເສວນ DCSI ແລະ 4) ຂຶ້ນດີເຂັ້ມເສວນ CURSi

>DCS : 90 bp

GTGCTGTTATCCTGGACGAGATGCGGAACCGCTGGCTGCGGAGGGCCACGCCACCACGGCGAGGGGC
TCGACTGGGGCGTGCTGTTG

>DCSi : 196 bp

CCGAGCGATCCTGGACCAGGTGGAGGCGCGGCTGGACTGGAGAAGGACCGGCTGCCGACGCCAC
GTACTCAGCGAGTACGGAACATGCAGAGCGCCACGGTGCTTATCCTGGACGAGATGCGGAACCGCTCG
GCTGCGGAGGGCCACGCCACCACGGCGAGGGCTCGACTGGGCGTGCTGTTG

>CURS : 125 bp

CATCATTGACGCCATCGAAGCCAAGCTGCAGCTGAGCCGGACAAGCTCAGCACCGCCCCCACGTCTTCAC
AGAGTACGGAACATGCAGAGCGCCACCGTGTACTTCGTATGGATGAGCTGA

>CURSi : 229 bp

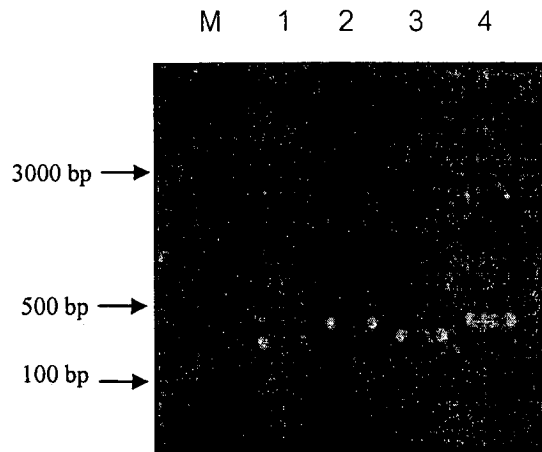
ATCATGCCGACAACCTCGGAGGAGCCTGGAGCGGGCGTTGGCGCCGCTGGGGTGAGGGAGTGGAAACG
ACGTCTTCTGGGTGGCGACCCGGCACTGGGCCATCATTGACGCCATCGAAGCCAAGCTGCAGCTGAGCC
CGGACAAGCTCAGCACCGCCCCACGTCTTCACAGAGTACGGAACATGCAGAGCGCCACCGTGTACTTCG
TGATGGATGAGCTGA

ภาพที่ 8 ແສດງລຳດັບເບີສ່ວນຂອງຢືນ DCS ແລະ CURS ທີ່ໄດ້ຈາກການເພີ່ມປົງມານດ້ວຍວິທີ PCR ອັກຊະຣຕ້ວທ່ານາ
គື້ອ ລຳດັບເບີສ່ວນຂອງໄພຣມ່ອງ

ກາຮສ້າງພລາສມິດ RNAi vector ທີ່ມີຂຶ້ນສ່ວນຂອງຢືນຫັນໃນທີ່ສຕຽງກັນຂ້າມ (inverted repeat)

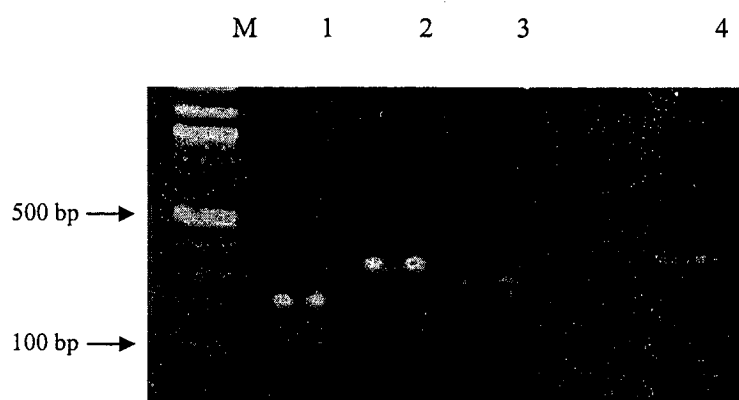
ໃນແຕ່ລະຢືນ ເລືອກໂຄລນທີ່ມີຂຶ້ນດີເຂັ້ມເທັກອູ່ໃນພລາສມິດໃນທີ່ສທາງເດືອກກັນ ເພີ່ມປົງມານຂຶ້ນດີເຂັ້ມເອ
ໂດຍໃຫ້ໄພຣມ່ອງ F-bact ແລະ R-bact ທີ່ອູ່ໃນພລາສມິດ pGEM®-T easy vector ໄດ້ຜົດດັ່ງ ພາກທີ່ 9 ຈາກນັ້ນຕັດ

ชิ้นดีเอ็นเอที่ได้ด้วยเอนไซม์ตัดจำเพาะ *SpeI* และสกัดดีเอ็นเอที่ได้ออกจากօกาโครงสร้าง DNA เพื่อนำชิ้นส่วนแต่ละคู่ (DCS กับ DCSi และ CURS กับ CURSi) มาเชื่อมต่อ กันด้วยเอนไซม์ T4 DNA ligase ตามวิธีในภาพที่ 1



ภาพที่ 9 ชิ้นดีเอ็นเอที่ได้จากการเพิ่มปริมาณด้วย PCR โดยใช้เพรเมอร์ F-bact และ R-bact ที่อยู่ในプラス มิด pGEM®-T easy vector แล้ว M) ดีเอ็นเมาตราฐาน 1 Kb DNA Ladder 1) ชิ้นดีเอ็นเอส่วน DCS 2) ชิ้นดีเอ็นเอส่วน DCSi 3) ชิ้นดีเอ็นเอส่วน CURS และ 4) ชิ้นดีเอ็นเอส่วน CURSi

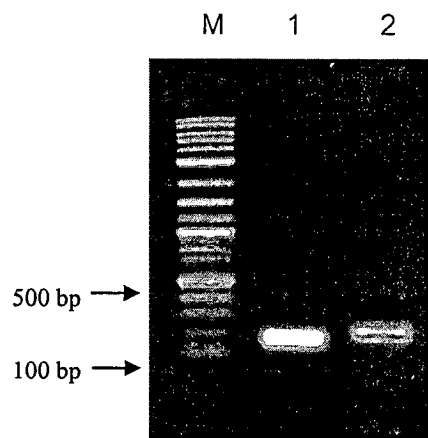
จากการทดลอง พบร่วมกับในขั้นตอนการตัดชิ้นดีเอ็นเอออกจากโครงสร้าง DNA ไม่สามารถแยกแยะดีเอ็นเอส่วนของ DCS เป็นแบบเดียวกันได้ จึงได้แบ่งดีเอ็นเอทั้งหมด 2 แบบ (ภาพที่ 10) เชื่อมชิ้นดีเอ็นเอแต่ละคู่เข้าด้วยกันด้วยเอนไซม์ T4 DNA ligase และชิ้นส่วนดีเอ็นเอที่เชื่อมติดกันในทิศตรงข้ามมีน้อยจนไม่สามารถตรวจสอบได้จากการทำอิเล็ก tro-ฟิล์มในօกาโครงสร้าง จึงนำมาต่อ กับプラス มิด pGEM®-T easy vector และถ่ายเข้าสู่แบคทีเรีย *E. coli* เพื่อเพิ่มจำนวนอีกครั้งหนึ่ง คัดเลือกโคลนที่มีชิ้นส่วนดีเอ็นเอเชื่อมต่อในทิศตรงกันข้าม โดยนำไปหาลำดับเบส แต่ยังไม่พบโคลนที่ต้องการจึงเปลี่ยนวิธีใหม่



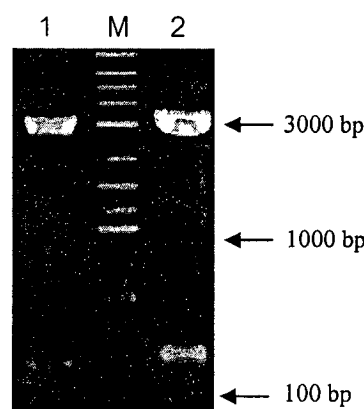
ภาพที่ 10 ชิ้นดีเอ็นเอที่ได้จากการตัดด้วยเอนไซม์ตัดจำเพาะ *SpeI* แยกให้บริสุทธิ์จากօกาโครงสร้าง และตรวจผลโดยการทำอิเล็ก tro-ฟิล์มอีกครั้ง M) ดีเอ็นเมาตราฐาน 1 Kb DNA Ladder 1) ชิ้นดีเอ็นเอส่วน DCS 2) ชิ้นดีเอ็นเอส่วน DCSi 3) ชิ้นดีเอ็นเอส่วน CURS และ 4) ชิ้นดีเอ็นเอส่วน CURSi

การสร้างพลาสมิด RNAi vector ที่มีชิ้นส่วนของยีนในทิศตรงข้ามโดยใช้ Gateway® Recombination system

การสร้างพลาสมิด RNAi vector โดยใช้ Gateway® Recombination system ทำโดยเพิ่มปริมาณส่วนของยีน DCSi ขนาด 196 คู่เบส และส่วนของยีน CURSi ขนาด 229 คู่เบส โดยใช้ ไพรเมอร์ DCS-F กับ DCSi-R และ CURS-F กับ CURSi-R (ภาพที่ 11) นำไปโคลนในพลาสมิด pGEM®-T easy vector เลือกโคลนที่มีชิ้นดีเอ็นเอของแต่ละยีน ตัดพลาสมิดด้วยเอนไซม์ตัดจำเพาะ EcoRI หลังจากนั้นตัดชิ้นส่วนดีเอ็นเอที่ต้องการและสกัดออกจากกระถางเชลล์ ดังภาพที่ 12

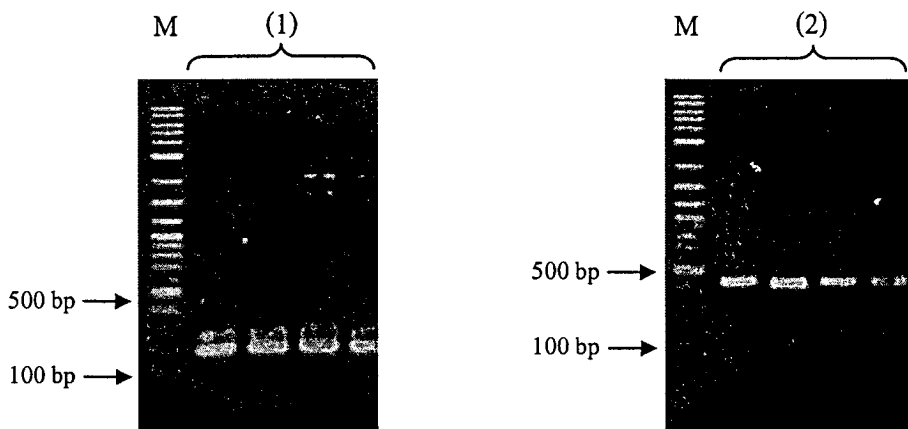


ภาพที่ 11 ແطبดีเอ็นเอที่ได้จากการเพิ่มปริมาณด้วยวิธี PCR จากดีเอ็นเอของชิ้นชาน (M) ดีเอ็นเอมาตรฐาน 1 Kb DNA Ladder 1) ชิ้นดีเอ็นเอจากส่วนของยีน DCS ขนาด 196 คู่เบส 2) ชิ้นดีเอ็นเอจากส่วนของยีน CURS1 ขนาด 229 คู่เบส



ภาพที่ 12 แสดงการใช้อะกาโรสเจลオリเย็กโทรโฟเรซเพื่อตรวจสอบขนาดของดีเอ็นเอที่ได้จากการตัดชิ้นดีเอ็นเอออกจากพลาสมิด pGEM®-T easy vector ด้วยเอนไซม์ตัดจำเพาะ EcoRI และ M) ดีเอ็นเอมาตรฐาน 1 Kb DNA Ladder 1) พลาสมิดที่มีชิ้นส่วนยีน DCSi 2) พลาสมิดที่มีชิ้นส่วนยีน CURSi

เชื่อมชิ้นดีเอ็นเอที่ได้กับพลาสมิด pENTR™ 1A vector ที่ผ่านการตัดด้วยเอนไซม์ตัดจำเพาะ EcoRI และดึงหมู่ฟอสเฟตที่ปลาย 5' ออกด้วยเอนไซม์ alkaline phosphatase และถ่ายเข้าสู่แบคทีเรีย E. coli คัดเลือกโคลนด้วยยาปฏิชีวนะ kanamycin ความเข้มข้น 50 ไมโครกรัมต่อมิลลิลิตร ตรวจสอบโคลนที่มีชิ้นส่วนดีเอ็นเอที่ต้องการด้วยวิธี PCR โดยใช้ไพรเมอร์ reverse ที่อยู่บนพลาสมิด pENTR™ 1A vector กับไพรเมอร์ของยีนแต่ละยีน คือ DCS-F และ CURS-F ได้แกบดีเอ็นเอกวนขนาดประมาณ 400 คู่เบส (ภาพที่ 13) จากนั้นเลี้ยงเชื้อเพื่อสกัดพลาสมิดจากโคลนที่มีชิ้นดีเอ็นเอที่ต้องการ สำหรับลำดับเบสได้ดัง ภาพที่ 14 จะเห็นว่าชิ้นดีเอ็นเอที่อยู่ในพลาสมิด pENTR™ 1A vector จะมีส่วนของบริเวณที่เป็น recombination site คือ attL1 และ attL2 อยู่ที่ปลายทั้งสองข้างของชิ้นดีเอ็นเอ เพื่อให้สามารถเกิดปฏิกิริยาแลกเปลี่ยนชิ้นส่วนกับพลาสมิดอื่นที่มีบริเวณดังกล่าว เช่นเดียวกันได้



ภาพที่ 13 แสดงการใช้อุปกรณ์เจลอะคริลิคไฟโรฟรีซเพื่อตรวจสอบโคลนที่ได้ด้วยวิธี PCR โดยใช้ไพรเมอร์ reverse กับไพรเมอร์ของยีน คือ DCS-F และ CURS-F และ M) ดีเอ็นเอกวนมาตรฐาน 1 Kb DNA Ladder 1) โคลนที่มีชิ้นส่วนยีน DCSi 2) โคลนที่มีชิ้นส่วนยีน CURSi และ DCSi

attL2

```

CAATAATGATTTATTTGACTGATAGTGACCTGTTGCAACAAATTGATAAGCAATGCTTCTTATAATGCCA
ACTTGACAAGAAAGCTGGGTCTAGATATCTCGAGTCGGCCGC          GATTCAACAGCACGCCAGTC
GAGCCCCCTGCCGGTGGCGTGGCCCTCCGCAGCCGAGCGGTTCCGCATCTCGTCCAGGATGAACAGC
ACCGTGGCGCTCTGCATGTTGCCGTACTCGCTGAGTACGTGCCGTCGGCGAGCCGGCCCTCTCCAG
TCGGAGCCGCGCCTCCACCTGGTCCAGGATCGCTCGGAATCACTAGT      GGTACCGGATCCAGTCGAC
TGAATTGGTTCTTAAAGCCTGCTTTTGACAAAGTGGCATTATAAAAAGCATTGCTTATCAATTGTTGCAA
CGAACAGGTCACTATCAGTCAAAATAAAATCATTATTTG

```

attL1

CURSi

attL2

```

CAATAATGATTTATTTGACTGATAGTGACCTGTTGCAACAAATTGATAAGCAATGCTTCTTATAATGCCA
ACTTGACAAGAAAGCTGGGTCTAGATATCTCGAGTCGGCCGC          ACTAGTGTATCATGCCGACAA
CCTCGGGAGGAGCCTGGAGCGGGCGTTGGCGCCGCTGGGGGTGAGGGAGTGGAACGACGTCTCTGGGTG

```

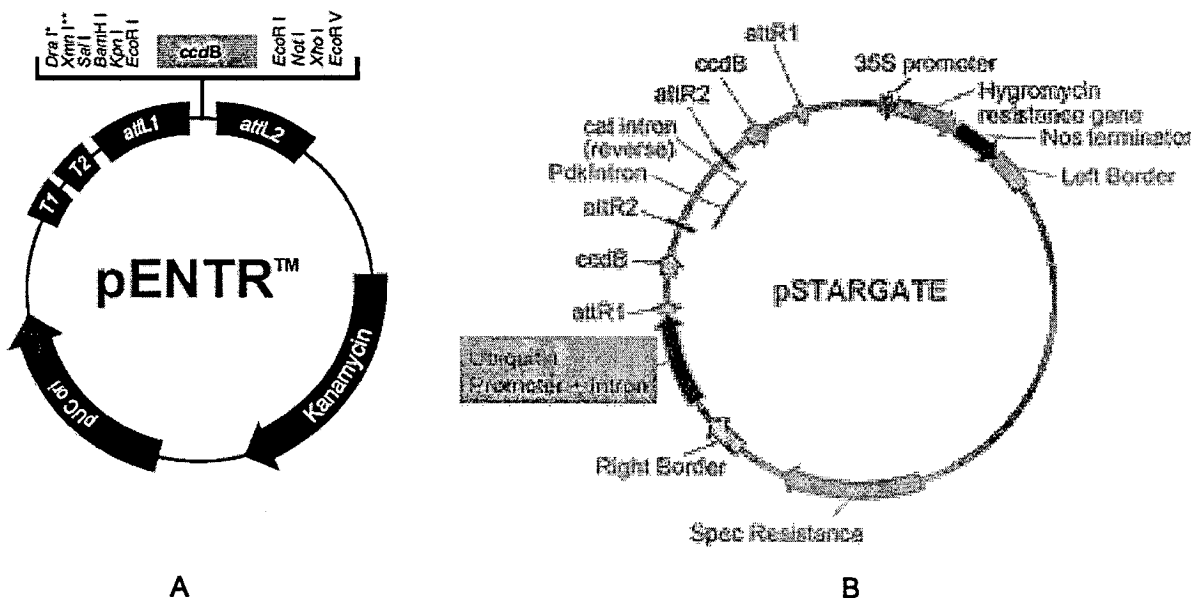
GCGCACCCGGGCAACTGGGCCATCATGGACGCCATCGAAGCCAAGCTGCAGCTGAGCCCGACAAGCTCAG
CACCGCCCGCCACGTCTTACAGAGTACGGCAACATGCAGAGCGCCACCGTGACTTCGTATGGATGAGCT
GAATC GGTACCGGATCCAGTCGACTGAATTGGTTCTTAAAGCCTGCTTTTGACAAAGTTGGCATT
ATAAAAAAGCATTGCTTATCAATTGTTGCAACGAACAGGTCACTATCAGTCAAATAAAATCATTATTTG

attL1

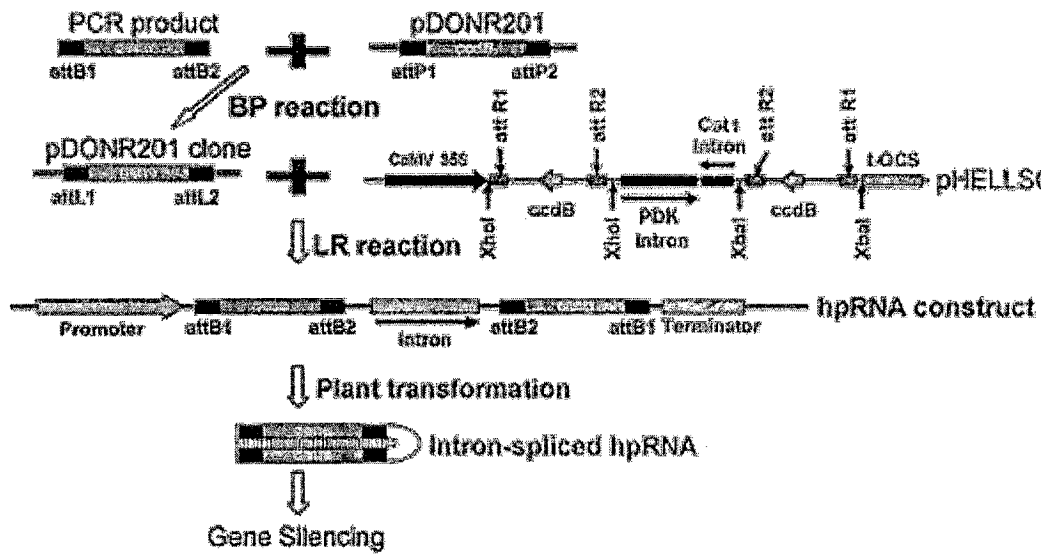
ภาพที่ 14 ลำดับเบสของยีน DCSi และ CURSi ที่แทรกอยู่ในพลาสมิด pENTR™ 1A vector แสดงด้วยอักษรตัวหนา แบบสีดำ คือ ตำแหน่งจุดจำของเอนไซม์ตัดจำเพาะ EcoRI ส่วน *attL1* และ *attL2* คือ บริเวณที่เป็น recombination site

แลกเปลี่ยนชิ้นส่วนยีนเข้าสู่พลาสมิด pSTARGATE vector ด้วยปฏิกิริยา LR clonase

พลาสมิด pENTR™ 1A vector (ภาพที่ 15A) ซึ่งมีส่วนที่เป็น recombination site คือ *attL1* และ *attL2* อยู่ที่ปลายทั้งสองข้างของชิ้นเดียวกัน ทำให้สามารถเกิดปฏิกิริยาแลกเปลี่ยนชิ้นส่วนกับพลาสมิด pSTARGATE vector ขนาด 18,147 คู่เบส (ภาพที่ 15B) ซึ่งมีส่วนที่เป็น recombination site คือ *attR1* และ *attR2* อยู่ที่ปลายทั้งสองข้างของชิ้นส่วนยีน *ccdB* ทั้งสองยีนที่หันในทิศทางตรงกันข้าม โดยเอนไซม์ LR clonase จะรักษาให้เกิดการแลกเปลี่ยนชิ้นส่วนเดียวกันที่อยู่ระหว่างตำแหน่ง recombination site ของทั้งสองพลาสมิด ชิ้นส่วนยีนที่อยู่ในพลาสมิด pENTR™ 1A vector จะย้ายมาอยู่แทนที่ชิ้นส่วนยีน *ccdB* ในทิศทางตรงกันข้าม เกิดเป็น inverted repeat (ภาพที่ 16) หลังจากนั้นถ่ายพลาสมิดที่ได้เข้าสู่แบคทีเรีย E. coli คัดเลือกโคลนด้วยยาปฏิชีวนะ spectinomycin ความเข้มข้น 50 ไมโครกรัมต่อมิลลิลิตร ตรวจสอบโคลนที่มีชิ้นส่วนเดียวกันที่ต้องการด้วยวิธี PCR ได้ແบบเดียวกันขนาด 196 และ 229 คู่เบสตามลำดับ แสดงว่าชิ้นเดียวกันของยีน DCSi และ CURSi ได้แทรกอยู่ในพลาสมิด pSTARGATE vector เรียบร้อยแล้ว



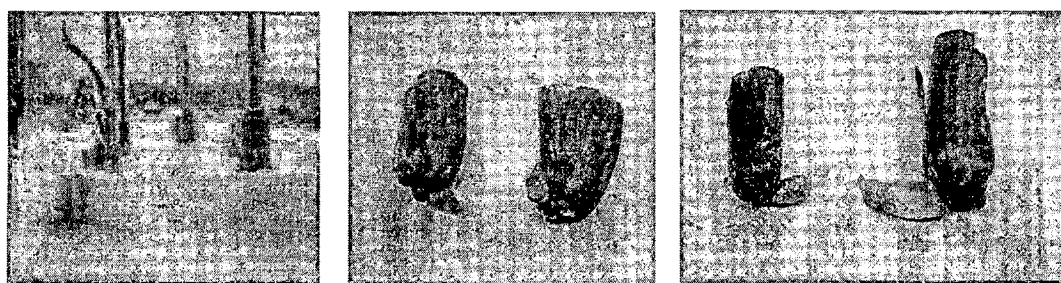
ภาพที่ 15 แผนที่พลาสมิด (A) pENTR™ 1A vector (B) pSTARGATE vector



ภาพที่ 16 การแลกเปลี่ยนชิ้นส่วนยีนที่อยู่ระหว่าง attachment site ของพลาสมิด 2 พลาสมิด โดยอาศัย Gateway recombination และการเกิด double stranded RNA ในเซลล์พืช ซึ่งจะทำให้ยีนเป้าหมายหยุดการทำงาน

การถ่ายยีนเข้าสู่มินชัน

หลังจากจัดสร้างพลาสมิด pSTARGATE ที่มีส่วนของยีน DCS และ CURS 2 ชุด แบบกลับทิศได้แล้ว จึงนำมาถ่ายยีนเข้าสู่มินชันโดยอาศัยเชื้อ *Agrobacterium tumefaciens* สายพันธุ์ EHA105 โดยตัดชิ้นส่วนยอดของมินชันขนาดประมาณ 1 เซนติเมตร เลี้ยงร่วมกับเชื้อโดยใช้คลีนเสียง sonicate เป็นเวลา 30 นาที แล้วขยี้เนื้อเยื่อมาเลี้ยงบนอาหาร MS เป็นเวลา 2 วัน คัดเลือกเนื้อเยื่อบนอาหารสูตร MS ที่เติม BA 2 มิลลิกรัมต่อลิตร cefotaxime ที่ความเข้มข้น 300 มิลลิกรัมต่อลิตร และไอโกรามัยซิน 10 มิลลิกรัมต่อลิตร ตามวิธีของกัญจนा และสูเม (2551) เป็นเวลา 4 สัปดาห์ พบว่าในชุดทดลองถ่ายยีน DCS จากจำนวนต้นที่ถ่ายยีน ทั้งหมด 500 ต้น พบรดต้นที่สามารถแตกยอดใหม่ (ภาพที่ 17) เจริญเติบโตได้บนอาหารที่เติมยาปฏิชีวนะไอโกรามัยซิน จำนวน 3 ต้น คิดเป็น 0.6 เปอร์เซ็นต์ และชุดทดลองถ่ายยีน CURS1 จากจำนวนต้นที่ถ่ายยีนทั้งหมด 500 ต้น พบรดต้นที่สามารถแตกยอดใหม่บนอาหารคัดเลือกที่เติมยาปฏิชีวนะไอโกรามัยซิน จำนวน 4 ต้น คิดเป็น 0.8 เปอร์เซ็นต์



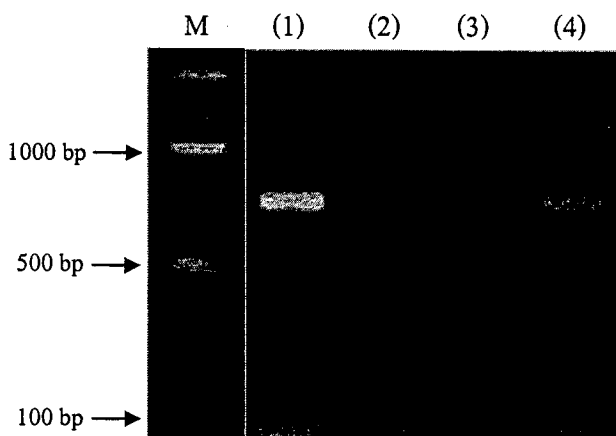
ภาพที่ 17 ยอดมินชันที่ได้รับการถ่ายยีน DCS เป็นเวลา 1 เดือน

จากผลการทดลองถ่ายยีนเข้าสู่ต้นมินชันโดยอาศัยเชื้อโภรแบคทีเรียม พบรดต้นที่สามารถเจริญเติบโตบนอาหารคัดเลือกจำนวนน้อย อาจเนื่องจากชิ้นส่วนยอดที่ใช้ในการทดลองยังไม่เหมาะสมสมสำหรับ

การถ่ายยีน ปัจจัยที่เกี่ยวข้องกับประสิทธิภาพการถ่ายยีน ได้แก่ อายุ ขนาด ชั้นส่วนที่นำมาใช้ในการถ่ายยีน (Hansen and Wright, 1999) นอกจากนั้นการเข้าบุกรุกของเชื้ออะโกรเบคที่เรียมเป็นไปแบบสุ่ม เชื้ออาจเข้าไปบุกรุกบริเวณอื่นที่ไม่ใช่ส่วนกำเนิดยอดใหม่ ทำให้ไม่สามารถเกิดยอดที่เจริญบนอาหารคัดเลือกได้ และอีกสาเหตุหนึ่งเนื่องจากการถ่ายยีนโดยอาศัยเชื้ออะโกรเบคที่เรียมนั้น มักใช้ในพืชใบเลี้ยงคู่ประสบผลสำเร็จได้ดีกว่าพืชใบเลี้ยงเดี่ยว เพราะการส่งสัญญาณกระตุ้นให้ยีนที่เกี่ยวข้องกับการย้าย T-DNA เข้าสู่เซลล์พืชใบเลี้ยงเดี่ยวนั้นอย ดังนั้นการเติมสารประกอบพาก phenolic เช่น acetosyringone ความเข้มข้นที่เหมาะสมสามารถกระตุ้นการเกิดการย้ายส่วน T-DNA เข้าสู่เซลล์พืชได้ดีขึ้น (Curtis, 2010)

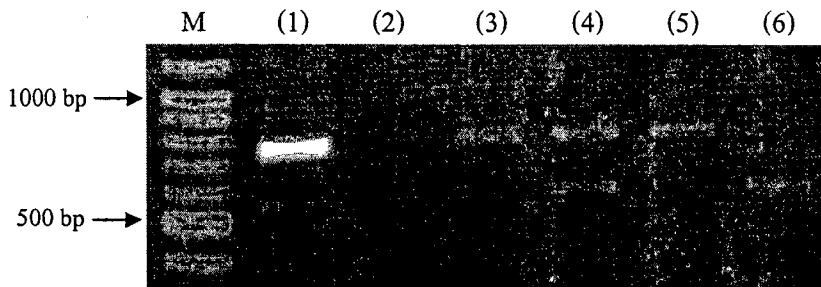
การตรวจสอบการแสดงออกของยีน

นำต้นข้าวมีน้ำตันที่ได้รับการถ่ายยีนมาสักดีเย็นเอกสารตัวอย่าง นำตัวเย็นเอกสารที่ได้มาทำปฏิกิริยา PCR โดยใช้เพรเมอร์ HPT-F กับ HPT-R เพื่อตรวจสอบการมีอยู่ของยีนเครื่องหมาย *hygromycin phosphotransferase (hpt)* จะได้แอบดีเย็นเอกสารขนาด 763 คู่เบส จากชุดทดลองถ่ายยีน DCS ที่พัฒนาด้วยมีน้ำตันสามารถเจริญเติบโตบนอาหารคัดเลือก จำนวน 3 ต้นมีน้ำตันที่ได้รับการถ่ายยีนหนึ่งต้นที่เกิดการปนเปื้อน จึงไม่สามารถนำมาระบุการตรวจสอบการแสดงออกของยีนได เมื่อนำต้นที่ได้รับการถ่ายยีนที่เหลือมาตรวจสอบ พบร่วมต้นที่ได้รับการถ่ายยีน DCS ทั้งหมด 2 ต้น มี 1 ต้นที่พบแอบดีเย็นเอกสาร ส่วนอีกต้นหนึ่งไม่พบแอบดีเย็นเอกสารเกิดขึ้น (ภาพที่ 18)



ภาพที่ 18 แอบดีเย็นเอกสารที่ได้จากการเพิ่มปริมาณด้วยวิธี PCR โดยใช้เพรเมอร์ของยีนเครื่องหมาย *hygromycin phosphotransferase (hpt)* คือ HPT-F และ HPT-R ได้แอบดีเย็นเอกสารขนาด 763 คู่เบส (M) ตีเย็นเอกสารมาตรฐาน 1 Kb DNA Ladder 1) พลาสมิด pSTARGATE vector 2) ต้นข้าวมีน้ำตันที่ไม่ได้รับการถ่ายยีน 3) และ 4) ต้นข้าวมีน้ำตันที่ได้รับการถ่ายยีน DCS

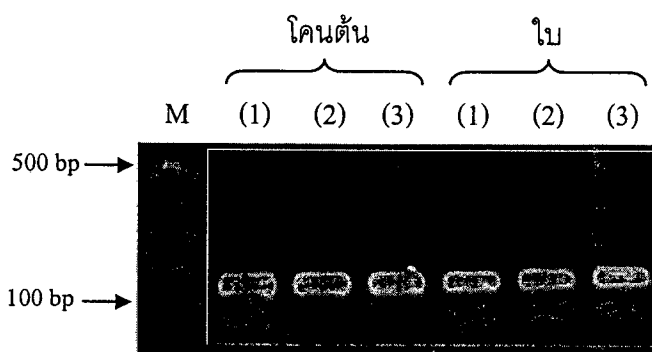
สำหรับต้นที่ได้รับการถ่ายยีน CURS พบร่วมต้นที่สามารถเจริญเติบโตบนอาหารคัดเลือก เมื่อตรวจสอบการมีอยู่ของยีนเครื่องหมาย พบร่วมต้นที่ได้รับการถ่ายยีน CURS ทั้ง 4 ต้นพบแอบดีเย็นเอกสารของยีนเครื่องหมาย *hygromycin phosphotransferase (hpt)* เกิดขึ้น (ภาพที่ 19)



ภาพที่ 19 ແບບດีເອັນເຄົ່າທີ່ໄດ້ຈາກການເພີມບຣິມາດຕໍ່ວຍວິທີ PCR ໂດຍໃຫ້ໄພຣີມອົງຂອງຢືນເຄົ່ອງໝາຍ *hygromycin phosphotransferase (hpt)* ດື່ອ HPT-F ແລະ HPT-R ໄດ້ແບບດีເອັນເຂົ້ານາດ 763 ຜູ້ເບສ M) ດີເອັນເຄົ່າມາດວູ້ານ 1 Kb DNA Ladder 1) ພລາສມືດ pSTARGATE vector 2) ຕັ້ນຂົມົນໜັນທີໄໝໄດ້ຮັບການຄ່າຍຢືນ 3), 4), 5) ແລະ 6) ຕັ້ນຂົມົນໜັນທີໄໝໄດ້ຮັບການຄ່າຍຢືນ CURS

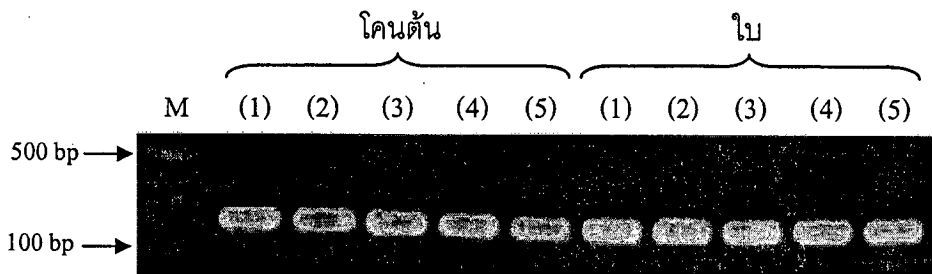
ຈາກຕັ້ນທີ່ໄໝໄດ້ຮັບການຄ່າຍຢືນ DCS ທັ້ງໝົດ 2 ຕັ້ນ ຕຽບສອບພບແບບດີເອັນເຂົ້າຂອງຢືນ *hygromycin phosphotransferase (hpt)* ເພີ່ງ 1 ຕັ້ນ ອາຈານີ່ອມາຈາກການເຂົ້ານຸກຮູກຂອງເຊື້ອຂອງໂກຣແບກທີ່ເຮີຍມເປັນໄປອ່າງສຸມໃນຫຼັນສ່ວນຕາຍອດທີ່ນຳມາຄ່າຍຢືນ ເມື່ອຕາຍອດມີການພັດນາສ້າງຍອດໃໝ່ເຂົ້ນມາ ຍອດໃໝ່ທີ່ເກີດຂຶ້ນຈາກໄຟໄໝໄດ້ກຳເນີດມາຈາກເໜີລົດຕັ້ນກຳເນີດເຕີຍກັນ ທ່ານໄໝຍອດທີ່ເກີດຂຶ້ນໃໝ່ນຳບາງຍອດອາຈານມີແລະໄມ້ມີຢືນທີ່ຄ່າຍເຂົ້າໄປ ເປັນສາເໜີທີ່ທໍາໄໝໄດ້ການຕຽບສອບການຄ່າຍຢືນດ້ວຍປົງກົງວິທີya PCR ແລ້ວໄໝພບຢືນດັ່ງກ່າວ ສໍາຮັບຕັ້ນທີ່ໄໝໄດ້ຮັບການຄ່າຍຢືນ CURS ພບແບບດີເອັນເຂົ້າຂອງຢືນເຄົ່ອງໝາຍໃນທຸກຕັ້ນ ແສດງວ່າສາມາດຄ່າຍຢືນເຂົ້າສູ່ຍອດຂົມົນໜັນໄດ້

ການຕຽບສອບການແສດງອອກຂອງຢືນ ສັກດອກເອົ້າເອົ້າຈາກສ່ວນໄປແລະໂຄນຕັ້ນຂອງຂົມົນໜັນທີ່ໄໝໄດ້ຮັບການຄ່າຍຢືນ DCS ຕາມວິທີຂອງ Yu and Goh (2000) ທ່ານປົງກົງວິທີya RT-PCR ໂດຍໃຫ້ໄພຣີມອົງຂອງຢືນ ໄດ້ແກ່ DCS-F ແລະ DCSi-R ໄດ້ແບບດີເອັນເຂົ້ານາດ 196 ຜູ້ເບສ ໃນທຸກຕົວຍ່າງ ແລະແບບດີເອັນເຂົ້າມີຄວາມໜາເທິກັນ ແລະພບວ່າອົ້າເອົ້າທີ່ສັກດຈາກສ່ວນໂຄນຕັ້ນຂົມົນໜັນແລະສ່ວນໄປຂອງຂົມົນໜັນ ແບບດີເອັນເຄົ່າທີ່ໄໝໄດ້ມີຄວາມແຕກຕ່າງກັນ (ກາພທີ 20)



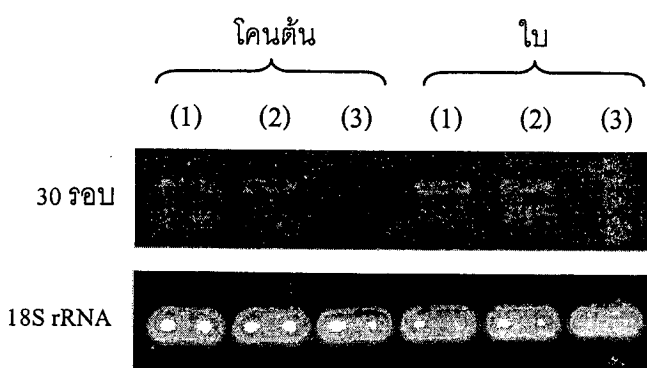
ກາພທີ 20 ການຕຽບສອບການແສດງອອກຂອງຢືນຈາກຕັ້ນທີ່ໄໝໄດ້ຮັບການຄ່າຍຢືນ DCS ດ້ວຍປົງກົງວິທີya RT-PCR ໂດຍໃຫ້ໄພຣີມອົງຂອງຢືນ ໄດ້ແບບດີເອັນເຂົ້ານາດ 196 ຜູ້ເບສ M) ດີເອັນເຄົ່າມາດວູ້ານ 1 Kb DNA Ladder 1) ອົ້າເອົ້າທີ່ສັກດຈາກຕັ້ນຂົມົນໜັນທີ່ໄໝໄດ້ຮັບການຄ່າຍຢືນ 2) ແລະ 3) ອົ້າເອົ້າທີ່ສັກດຈາກຕັ້ນຂົມົນໜັນທີ່ໄໝໄດ້ຮັບການຄ່າຍຢືນ DCS

สกัดอาร์เอ็นเอจากต้นที่ได้รับการถ่ายยีน CURS และเพิ่มปริมาณชีนส่วนยีน CURS ได้ແບບดีเอ็นเอขนาด 229 คู่เบลในทุกด้านอย่าง ทั้งส่วนโคนต้นและใบมีปริมาณความเข้มของແບບดีเอ็นเอไม่แตกต่างกัน (ภาพที่ 21)



ภาพที่ 21 การตรวจสอบระดับการแสดงออกของยีนจากต้นที่ได้รับการถ่ายยีน CURS ด้วยปฏิกิริยา RT-PCR โดยใช้ไพรเมอร์ของยีน ได้ແບບดีเอ็นเอขนาด 229 คู่เบล M) ดีเอ็นเอมาตรฐาน 1 Kb DNA Ladder 1) อาร์เอ็นเอที่สกัดจากต้นขมิ้นชันที่ไม่ได้รับการถ่ายยีน 2), 3), 4) และ 5) อาร์เอ็นเอที่สกัดจากต้นขมิ้นชันที่ได้รับการถ่ายยีน CURS

จากการตรวจสอบการแสดงออกของยีนโดยการทำปฏิกิริยา RT-PCR แบบปกติ ไม่สามารถบอกได้ว่า ระดับการแสดงออกของยีนในต้นปกติกับต้นที่ได้รับการถ่ายยีนมีความแตกต่างกันหรือไม่ จึงทดสอบโดยการทำปฏิกิริยา RT-PCR แบบกึ่งตรวจวัดปริมาณ (semi-quantitative RT-PCR) โดยทำปฏิกิริยา PCR จำนวน 15, 20, 25, 30 และ 40 รอบ เมื่อวิเคราะห์การแสดงออกของยีน DCS พบความแตกต่างของความเข้มของແບບดีเอ็นเอกิเดชีนในการทำปฏิกิริยาจำนวน 30 รอบ โดยในต้นขมิ้นชันที่ได้รับการถ่ายยีน ที่ตรวจพบการมีอยู่ของยีนต้านทานยาปฏิชีวนะไอกромัยซิน คือ ต้นขมิ้นชันหมายเลข (3) มีความเข้มของແບບดีเอ็นเอน้อยกว่าในต้นที่ไม่ได้รับการถ่ายยีน ทั้งในส่วนโคนต้นและใบของขมิ้นชัน (ภาพที่ 22)

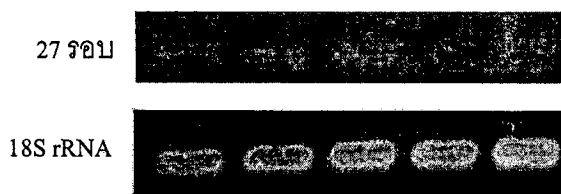


ภาพที่ 22 การตรวจสอบระดับการแสดงออกของยีนจากต้นที่ได้รับการถ่ายยีน DCS โดยวิธี semi-quantitative RT-PCR 1) อาร์เอ็นเอที่สกัดจากต้นขมิ้นชันที่ไม่ได้รับการถ่ายยีน 2) และ 3) อาร์เอ็นเอที่สกัดจากต้นขมิ้นชันที่ได้รับการถ่ายยีน DCS

เมื่อวิเคราะห์การแสดงออกของยีน CURS โดยวิธี semi-quantitative RT-PCR พบความแตกต่างของความเข้มของแถบดีเอ็นเอเกิดขึ้นในการทำปฏิกิริยา PCR จำนวน 27 รอบ โดยต้นข้มีน้ำหนักที่ได้รับการถ่ายยีนหมายเลขอ (4) และ (5) มีความเข้มของแถบดีเอ็นเอน้อยกว่าในต้นที่ไม่ได้รับการถ่ายยีน ทั้งในส่วนโคนต้นและส่วนใบ และพบว่าส่วนใบของต้นข้มีน้ำหนักหมายเลขอ (3) มีความเข้มของแถบดีเอ็นเอน้อยกว่าต้นปกติ เช่นกัน (ภาพที่ 23)

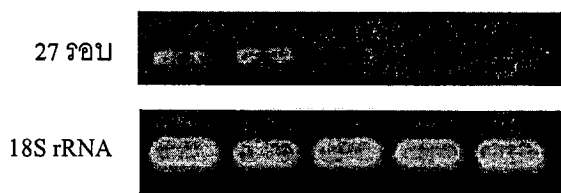
โคนต้น

(1) (2) (3) (4) (5)



ใบ

(1) (2) (3) (4) (5)



ภาพที่ 23 การตรวจสอบระดับการแสดงออกของยีนของต้นที่ได้รับการถ่ายยีน CURS1 ด้วยวิธี semi-quantitative RT-PCR 1) อาจร์เอ็นเอที่สกัดจากต้นข้มีน้ำหนักที่ไม่ได้รับการถ่ายยีน 2), 3), 4) และ 5) อาจร์เอ็นเอที่สกัดจากต้นข้มีน้ำหนักที่ได้รับการถ่ายยีน CURS

จากการทดลอง แสดงว่าต้นข้มีน้ำหนักหมายเลขอ (3) ที่ได้รับการถ่ายยีน DCS และต้นข้มีน้ำหนักหมายเลขอ (4) และ (5) ที่ได้รับการถ่ายยีน CURS นั้น ชิ้นส่วนยีนที่ถ่ายได้แทรกเข้าสู่จีโนมของพืช เมื่อเกิดกระบวนการถอดรหัส ได้เป็นอาจร์เอ็นเอ ชิ้นส่วนของยีนที่หันในทิศตรงข้าม (inverted repeat) เข้าคู่สมกันเป็น hairpin RNA และเกิดกระบวนการ RNA interference อาจร์เอ็นเอสายคู่ถูกตัดเป็นชิ้นส่วนอาจร์เอ็นเอขนาดเล็ก ซึ่งสามารถจับคู่กับอาจร์เอ็นเอของยีนที่เป็นบริเวณที่มีเบสคู่สมกัน ก่อให้เกิดการทำลายอาจร์เอ็นเอ ซึ่งจะทำให้ไม่สามารถแปลรหัสเป็นโปรตีนหรือเอนไซม์ได้ นอกจากนั้นการใช้ปริโมเตอร์ ubiquitin ที่อยู่ในพลาสมิด pSTARGATE vector เป็นตัวควบคุมการทำงานของยีน สามารถเกิดกระบวนการถอดรหัสของชิ้นส่วนดีเอ็นเอที่ต้องการได้

จากการตรวจสอบการแสดงออกของยีน DCS ในระดับօาร์ເອັນເອ ເມື່ອນຳພັດລິຕູຈາກການທຳ semi-quantitative RT-PCR ວັດປະນຸມຄວາມເຂັ້ມງັນຂອງສາຣະລາຍດີເອັນເອ ພບວ່າໃນຕັ້ນມີນັ້ນໜາຍເລີ້ນ (3) ມີຄວາມເຂັ້ມງັນຂອງສາຣະລາຍດີເອັນເອນ້ອຍກວ່າໃນຕັ້ງຢ່າງໝັ້ນໜັ້ນທີ່ໄມ້ໄດ້ຮັບການຄ່າຍຢືນ ແສດວ່າປະນຸມຄວາມօາຣີເອັນເອຂອງຍືນ DCS ທີ່ສັກດີໄດ້ ແລະນຳມາໃຫ້ເປັນຕັ້ນແບບໃນການເພີ່ມປະນຸມເຊື້ນສ່ວນຍືນ ມີປະນຸມຄດລົງເນື້ອເຖິງກັນຕັ້ນທີ່ໄມ້ໄດ້ຮັບການຄ່າຍຢືນ ທຳໄໝໄດ້ຄວາມເຂັ້ມງັນດີເອັນເອຈາກການທຳປັກກີໂຮງຢາ RT-PCR ລດລົງໄປດ້ວຍ (ຕາງໆທີ່ 2)

ຕາງໆທີ່ 2 ຄວາມເຂັ້ມງັນຂອງສາຣະລາຍດີເອັນເອທີ່ໄດ້ຈາກການທຳ semi-quantitative RT-PCR ຂອງຍືນ DCS ຈຳນວນ 30 ລອບ

ຫຸ້ນສ່ວນພຶ້ງ	ຄວາມເຂັ້ມງັນຂອງສາຣະລາຍດີເອັນເອ (ນາໂນກຮັມຕ່ອໄມໂຄຣລິຕູ)		
	ຕັ້ນທີ່ໄມ້ໄດ້ຮັບການຄ່າຍຢືນ		
	(1)	(2)	(3)
ໂຄນຕັ້ນ	235.3	238.9	117.0
ໃບ	199.6	124.0	161.7

ໜາຍເຫດ (1) ຕັ້ນມີນັ້ນທີ່ໄມ້ໄດ້ຮັບການຄ່າຍຢືນ (2) ຕັ້ນມີນັ້ນທີ່ໄດ້ຮັບການຄ່າຍຢືນ DCS ແລະໄໝພບການມື້ອງຢືນ hpt
 (3) ຕັ້ນມີນັ້ນທີ່ໄດ້ຮັບການຄ່າຍຢືນ DCS ແລະພບການມື້ອງຢືນ hpt

ສໍາຮັບຕັ້ນມີນັ້ນທີ່ໄດ້ຮັບການຄ່າຍຢືນ CURS ເນື້ອພັດລິຕູທີ່ໄດ້ຈາກການທຳ semi-quantitative RT-PCR ມາວັດປະນຸມຄວາມເຂັ້ມງັນຂອງສາຣະລາຍດີເອັນເອ ພບວ່າຕັ້ນມີນັ້ນໜາຍເລີ້ນ (4) ແລະ (5) ມີຄວາມເຂັ້ມງັນຂອງສາຣະລາຍດີເອັນເອນ້ອຍກວ່າໃນຕັ້ງຢ່າງໝັ້ນໜັ້ນທີ່ໄມ້ໄດ້ຮັບການຄ່າຍຢືນ ແສດວ່າປະນຸມຄວາມօາຣີເອັນເອຂອງຍືນ CURS ທີ່ສັກດີໄດ້ ແລະນຳມາໃຫ້ເປັນຕັ້ນແບບໃນການເພີ່ມປະນຸມເຊື້ນສ່ວນຍືນ ມີປະນຸມຄດລົງເນື້ອເຖິງກັນຕັ້ນທີ່ໄມ້ໄດ້ຮັບການຄ່າຍຢືນ (ຕາງໆທີ່ 3)

ຕາງໆທີ່ 3 ຄວາມເຂັ້ມງັນຂອງສາຣະລາຍດີເອັນເອທີ່ໄດ້ຈາກການທຳ semi-quantitative RT-PCR ຂອງຍືນ CURS ຈຳນວນ 27 ລອບ

ຫຸ້ນສ່ວນພຶ້ງ	ຄວາມເຂັ້ມງັນຂອງສາຣະລາຍດີເອັນເອ (ນາໂນກຮັມຕ່ອໄມໂຄຣລິຕູ)				
	ຕັ້ນທີ່ໄມ້ໄດ້ຮັບ	ຕັ້ນທີ່ໄດ້ຮັບການຄ່າຍຢືນ			
		ການຄ່າຍຢືນ			
	(1)	(2)	(3)	(4)	(5)
ໂຄນຕັ້ນ	343.1	382.1	352.5	306.1	211.7
ໃບ	405.3	365.5	417.1	277.0	210.0

ໜາຍເຫດ (1) ຕັ້ນມີນັ້ນທີ່ໄມ້ໄດ້ຮັບການຄ່າຍຢືນ
 (2), (3), (4) ແລະ (5) ຕັ້ນມີນັ້ນທີ່ໄດ້ຮັບການຄ່າຍຢືນ CURS1 ແລະພບການມື້ອງຢືນ hpt

จากผลการทดลอง พบร่วมกับต้นขมิ้นชันที่ได้รับการถ่ายยีนหมายเลขอ 5 มีปริมาณความเข้มข้นของสารละลายดีอีนเฉล朵ลงมากกว่าต้นขมิ้นชันต้นอื่น สาเหตุที่การยับยั้งการแสดงออกของยีนในแต่ละต้นแตกต่างกันนี้ เนื่องจากการถ่ายยีนเข้าสู่พืชโดยอาศัยเชื้อ *Agrobacterium tumefaciens* เป็นปัจจัยสำคัญที่ถ่ายเข้าไปอาจแทรกอยู่ในตำแหน่งที่ต่างกัน และจำนวนชุดของยีนที่แทรกเข้าสู่ในพืชแต่ละต้นอาจมีจำนวนแตกต่างกัน จึงมีการยับยั้งการแสดงออกของยีนได้ต่างกัน ดังงานวิจัยของเบญจวรรณ (2552) ได้ถ่ายยีน antisense ACO เข้าสู่ต้นกล้วยไม้ hairy root ป้อมปาด้วร พบร่วมกับต้นที่ได้รับการถ่ายยีนมีจำนวนชุดของยีนแตกต่างกัน ตั้งแต่ 1-4 ชุด โดยพบว่าต้นที่ได้รับการถ่ายยีนที่มีจำนวนชุดยีน antisense มาก สามารถยับยั้งการแสดงออกของยีน ACO ได้มากกว่าต้นที่มีจำนวนชุดของยีน antisense น้อย ทั้งนี้เมื่อยอดขมิ้นชันที่ได้รับการถ่ายยีนมีจำนวนชุดของยีน RNAi แทรกเข้าสู่ในของพืชมาก เมื่อเกิดกระบวนการลดรหัส จึงมีจำนวน hprRNA มาก เช่นกัน จึงอาจเกิดการยับยั้งการแสดงออกของยีนได้มากกว่า

ส่วนใบในต้นขมิ้นชันหมายเลขอ 3 ที่พบร่วมกับต้นปักต้น เมื่อนำมารวบรวมแล้วพบว่ามีปริมาณความเข้มข้นของสารละลายดีอีนเฉล朵ลง เมื่อเทียบกับต้นปักต้นนั้น เมื่อนำมาวัดความเข้มข้นของสารละลายดีอีนเฉล朵ลง พบว่ามีปริมาณความเข้มข้นไม่แตกต่างจากต้นปักต้น อาจเนื่องจากในขั้นตอนการตรวจสอบแบบดีอีนเฉล朵ลงโดยใช้อุปกรณ์ตรวจวัด RNAi อาจดูดผลิตผลปฏิกิริยามา hybridization บนกระดาษที่มีตัวอย่างต้นที่ได้รับการถ่ายยีน RNAi แทรกเข้าสู่ในของพืชมาก เมื่อเทียบกับตัวอย่างอื่นๆ

ความเข้มข้นของสารละลายดีอีนเฉล朵ลงที่ได้รับการถ่ายยีนที่สกัดจากต้นปักต้น พบว่ามีปริมาณมากกว่าตัวอย่างที่สกัดจากส่วนใบของขมิ้นชัน ดังงานวิจัยของ Katsuyama et al. (2009b) พบว่ามีการแสดงออกของยีนในส่วนแห้งมากกว่าส่วนใบ เมื่อเปรียบเทียบความเข้มข้นของสารละลายดีอีนเฉล朵ลงที่ได้รับการถ่ายยีนที่สกัดจากส่วนใบ กับตัวอย่างที่สกัดจากส่วนใบของต้น มีความเข้มข้นลดลงอย่างเห็นได้ชัดกว่าในส่วนของใบ อาจเนื่องจากยีนที่แสดงออกมากในส่วนแห้ง หรือโคนต้น เมื่อเกิดการยับยั้งการแสดงออกของยีนบริเวณดังกล่าว จึงเห็นความแตกต่างจากต้นปักต้นได้ชัดเจน อย่างไรก็ตาม การถ่ายยีนโดยใช้เทคนิค RNA interference ในครั้งนี้ประสบผลสำเร็จ สามารถถ่ายยีนเข้าสู่ขมิ้นชันได้ และต้นที่ได้รับการถ่ายยีนมีการแสดงออกของยีนลดลงกว่าปกติ

จากการวิจัยของ Katsuyama et al. (2009a, b) กล่าวว่ายีนที่เกี่ยวข้องกับกระบวนการสังเคราะห์สารเคอร์คูมินอยด์ในขมิ้นชันที่สำคัญ ได้แก่ ยีน diketide-CoA synthase (DCS) และ curcumin synthase (CURS) จากผลการทดลองนี้พบว่าการยับยั้งการแสดงออกของยีน DCS และ CURS1 ทำให้ยีนที่แสดงออกลดลง อย่างไรก็ตามยังไม่สามารถสรุปได้ว่าการยับยั้งยีนทั้งสองชนิด มีผลต่อกระบวนการสังเคราะห์สารเคอร์คูมินอยด์ในขมิ้นชันหรือไม่ จึงควรทำการศึกษาต่อไป

สรุปและข้อเสนอแนะ

จากการตรวจเอกสารทราบว่าการสังเคราะห์สารเคอร์คูมินอยด์เกิดจากการทำงานร่วมกันของเอนไซม์ 2 ชนิด คือ diketide-CoA synthase (DCS) และ curcumin synthase (CURS) ทำให้ทราบวิถีการสังเคราะห์สารเคอร์คูมินอยด์ และมีรายงานการคลอนยีนทั้ง 2 ยีน ดังกล่าวแล้ว จึงต้องการตรวจสอบการทำงานของยีน

ทั้ง 2 ด้วยวิธี RNA interference โดยได้ออกแบบเพรเมอร์ เพิ่มปริมาณส่วนของยีนทั้งสอง และนำแต่ละยีนมาเข้ามต่องกันแบบกลับทิศทางในพลาสมิด pSTARGATE vector ได้พลาสมิดที่มีชื่นส่วนยีนหันในทิศทางตรงกันข้าม จึงนำพลาสมิดมาถ่ายเข้าสู่ *Agrobacterium tumefaciens* และเลี้ยงเชื้อร่วมกับชิ้นส่วนยอดเป็นเวลา 30 นาที คัดเลือกยอดที่ได้รับการถ่ายยีนบนอาหารแข็งสูตร MS ที่เติม BA 2 มิลลิกรัมต่อลิตร cefotaxime 300 มิลลิกรัมต่อลิตร และไฮโกรมัยซิน 10 มิลลิกรัมต่อลิตร พบร่วมยอดที่ได้รับการถ่ายยีน DCS และ CURS เจริญบนอาหารคัดเลือกได้จำนวน 3 และ 4 ยอด คิดเป็น 0.6 และ 0.8 เปอร์เซ็นต์ ตามลำดับ และ

จากการตรวจสอบการมีอยู่ของยีนด้วยปฏิกิริยา PCR พบແບດดีเอ็นເຂອງยีน *hygromycin phosphotransferase (hpt)* ในต้นที่ได้รับการถ่ายยีน DCS และ CURS จำนวน 1 และ 4 ต้น ตามลำดับ จากนั้นตรวจสอบการแสดงออกของยีนในระดับอาร์ເອັນເອ ພບຈ່າວັນທີທີ່ได້ຮັບການຄ່າຍຍືນ ມີການແສດງອອກຂອງຍືນ ລດຖານມີເຫັນກັບທັນປົກຕິ ແສດງວ່າສາມາດຮັບຢັງການແສດງອອກຂອງຍືນໄດ້ສໍາເລັດ ທັງນີ້ຢັງໄມ້ສາມາດตรวจสอบ ໄດ້ວ່າຍືນທັງສອງໜີມີຜົດຕ່າງກະນິດມີຜົດຕ່າງກະນິດມີຜົດຕ່າງກະນິດໃນໝົ້ນໜັນ ເນື່ອຈາກຕ້ວຍ່າງໝົ້ນໜັນມີປົງປານນ້ອຍ ໄມ້ສາມາດຄຳນໍາໄປວິເຄາະທີ່ປົງປານສາຣເຄອຣຸຄູມິນອຍດີໄດ້ ຄວາງວິທີທຽບການສອບທີ່ເໝາະສົມຕ້ອໄປ

เอกสารอ้างอิง

- กัญจนा แซ่เตีย แล้ว สุเม อรัญญา. 2551. การถ่ายยีนเข้าสู่ปหุມາโดยใช้օກແບດທີ່ເຮັມ. *ว. วິທີ. ກະ.* 39(3) (ພຶເສດ), 211-214.
- ชัยพัฒน์ จิราธรรมຈารີຍ, อารມຍ ແສງວິຫຍີ ແລະ ອຸດມລັກຊົນ ອຸນຈົດຕ່ວຽກນະ. 2535. ວິຈັບປົງປານສາຣເຄອຣຸຄູມິນໃນໝົ້ນ. *n.20-22* ໃນ ເອກສາປະກອບການສົມນາວິຊາກາ ກຸ່ມພື້ສມຸນໄພຣແລະເຄື່ອງເທິງ ກຽມວິຊາກາເກະຊົງ ກຸງເທິງ.
- เบณจวรรณ สุวรรณเนตຍ. 2552. **ການຄ່າຍຍືນທີ່ເກີຍວ້າຂອງກັບການສ້າງເອົກສິນເຂົ້າສູກລ້ວຍໄມ້ສຸກລວາຍ ພັນຖຸປົມປາດວັດໄຕໃຫ້ເວັກເຕົອර໌ pMAT21.** ວິທະນີພົນບົງບົມບາໂທ, ມາວິທາລີຍເກະຕະຄາສຕົງ. ສຕາບັນວິຈັບສມຸນໄພຣ. 2544. ມາດຮູ້ານສມຸນໄພຣໄທ: ໝົ້ນໜັນ. ກຽມວິທາຄາສຕົງກາຣແພທຍ. ກະທຽວສາຮາຣະສູງ. ໂຮງພິມພ. ຮ.ສ.ພ. ກຸງເທິງ.
- ອົງນທີພົມ ອຣມ້ຍພິນຕ. 2541. ຊົ່ວສັງເຄວາຮີບແບບຄອມປິເນທອເຈີຍລ. *ວ.ເກະຕະຄາສຕົງ(ວິທຍ.)* 16: 45-54.
- Abe, I., Y. Utsumi, S. Oguro and H. Noguchi. 2004. The first plant type III polyketide synthase that catalyzes formation of aromatic heptaketide. *FEBS Lett.* 562: 171-176.
- Agrawal, G.K., R.N. Pandey and V.P. Agrawal. 1992. Isolation of DNA from *Choerospondias asillaris* leaves. *Biotech. Biodiv. Lett.* 2: 19-24.
- Austin, M.B. and J.P. Noel. 2003. The chalcone synthase superfamily of type III polyketide synthases. *Nat. Prod. Rep.* 20: 79-110.
- Araújo, C.A.C. and L.L. Leon. 2001. Biological activities of *Curcuma longa* L. *Mem. Inst. Oswaldo Cruz.* 96: 723-728.

- Brand, S., D. Hölscher, A. Schier, A. Svaloš, J. Schröder and B. Schneider. 2006. A type III polyketide synthase from *Wachendorfia thyrsiflora* and its role in diarylheptanoid and phenylphenalenone biosynthesis. **Planta** 224: 413-428.
- Chavalittumrong, P. and W. Jirawattanapong. 1992. Variation of active constituents of *Curcuma domestica* rhizomes at different ages. **Thai J. Pharm. Sci.** 16: 165-174.
- Curtis, I.S. 2010. Genetic transformation-*Agrobacterium*. pp 199-214. In M.R. Davey and P. Anthony, eds. **Plant Cell Culture**. Wiley-Blackwell, West Sussex.
- Dixon, R.A. 1999. Plant natural products: the molecular genetic basis of biosynthetic diversity. **Curr. Opin. Biotechnol.** 10: 192-197.
- Eckermann, S., G. Schröder, J. Schmidt, D. Strack, R.A. Edrada, Y. Helariutta, P. Elomaa, M. Kotilainen, I. Kilpeläinen, P. Proksch, T.H. Teeri and J. Schröder. 1998. New pathway to polyketide in plants. **Nature** 396: 387-390.
- Farzad, M., D.F. Soria-Hernanz, M. Altura, M.B. Hamilton, M.R. Weiss and H.G. Elmendorf. 2005. Molecular evolution of the chalcone synthase gene family and identification of the expressed copy in flower petal tissue of *Viola cornuta*. **Plant Sci.** 168: 1127–1134.
- Hashemy, T., H. Maki, Y. Yamada, T.S. Kaneko and K. Syono. 2009. Effects of light and cytokinin on *in vitro* micropropagation and microrhizome production in turmeric (*Curcuma longa* L.). **Plant Biotechnol.** 26: 237-242.
- Hopwood, D.A. and D.H. Sherman. 1990. Molecular genetics of polyketides and its comparison to fatty acid biosynthesis. **Ann. Rev. Genet.** 24: 37-66.
- Katsuyama, Y., T. Kita, N. Funa and S. Horinouchi. 2009a. Curcuminoid biosynthesis by type III polyketide synthases in the herb *Curcuma longa*. **J. Biol. Chem.** 284: 11160-11170.
- Katsuyama Y., Kita T. and Horinouchi S. 2009b. Identification and characterization of multiple Curcumin synthases from the herb *Curcuma longa*. **FEBS Lett.** 583, 2799-2803.
- Lukacin, R., K. Springob, C. Urbanke, C. Ernwein, G. Schröder, J. Schröder and U. Matern. 1999. Native acridone synthases I and II from *Ruta graveolens* L. form homodimers. **FEBS Lett.** 448: 135-140.
- Okada, Y. and K. Ito. 2001. Cloning and analysis of valerophenone synthase gene expressed specifically in lupulin gland of hop (*Humulus lupulus* L.). **Biosci. Biotechnol. Biochem.** 65: 150-155.
- Preisig-Mueller, R., P. Gnau and H. Kindl. 1995. The inducible 9,10-dihydrophenanthrene Pathway : characterization and expression of bibenzyl synthase and 5-adenosylhomocysteine hydrolase. **Arch. Biochem. Biophys.** 317: 201-207.

- Ramirez-Ahumada, M.C., B.N. Timmermann and D.R.Gang. 2006. Biosynthesis of curcuminoids and gigerols in turmeric (*Curcuma longa*) and ginger (*Zingiber officinale*) : Identification of curcuminoid synthase and hydroxycinnamoyl-CoA thioesterase. **Phytochemistry** 67: 2017-2029.
- Schöppner, A. and H. Kindl. 1984. Purification and properties of a stilbene synthase from induced cell suspension cultures of peanut. **J. Biol. Chem.** 259: 6806-6811.
- Schröder, J. 1999. Probing plant polyketide biosynthesis. **Nat. Struct. Biol.** 6: 714-716.
- Shen, B. and C.R. Hutchinson. 1993. Enzymatic synthesis of a bacterial polyketide from acetyl and malonyl coenzyme A. **Science** 262: 1535-1540.
- Shen, B. 2003. Polyketide biosynthesis beyond the type I, II and III polyketide synthase paradigms. **Curr. Opin. Chem. Biol.** 7: 285-295.
- Sommer, H. and H. Saedler. 1986. Structure of the chalcone synthase gene of *Antirrhinum majus*. **Mol. Gen. Genet.** 202: 429-434.
- Thamchaipenet, A. 1999. Multiple domain substitutions of erythromycin polyketide synthase to produce a combinatorial library. **Actinomycetologica** 13: 113-119.
- Yu, H. and C.J. Goh. 2000. Identification and characterization of three orchid MADS-box genes of the AP1/AGL9 subfamily during floral transition. **Plant Physiol.** 123: 1325-1336.